

Ellenőrző kérdések

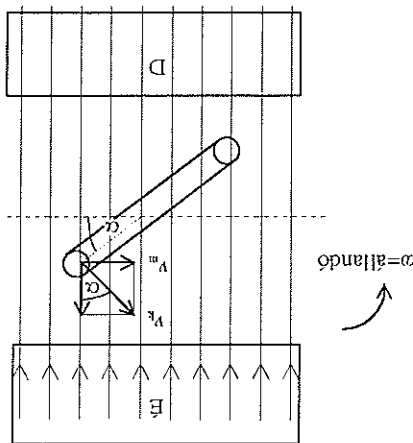
1. Mily fogalmaz meg *Faraday indukció-törvénye?*
2. Milykor beszélünk mozgási indukcióról?
3. Milykor nem indokolódik feszültség egy mágneses térbén mozgó tekercsben?
4. Mily mond ki *Lenz törvénye?*
5. Hogyan határozható meg az indukált áram irányá a jobbkéz-szabály segítségevel?
6. Milykor beszélünk önnindukcióról?
7. Hogyan eredmézzük az önnindukciós tényezőt?
8. Milyelű függ egy tekercs induktivitását?
9. Mi a körökönös indukció?
10. Hogyan határozható meg az indukált áram irányá nyugalmi indukció esetén?

4. Melykor omlindukciós feszültsége kellekzik egy 12 mH induktivitású tekercessel, ha bekapsolásakor az áramterössége 10 ms idő alatt egynelvét sebesseggel 100 mA-re nő? (0,12 V)

$$u = B \cdot l \cdot v_m$$

szüllősegről vonakozó összefüggéssel tudjuk meghatározni:
 lakra merőleges komponense által az S.I. alfejezetben meghismer, az indukált fe-
 tekercsoldal mágneses terben levő / hossza és a kerüléti sebességek az erővona-
 Az indukált fezzeliség pillanatnyi szinuszos részszerebe szükséges ter B indukciója, a
 beszegéle is állandó. A tekercs elforrásulását az a szöggel jellemzőzik.
 Mivel a tekercs állandó szögsebesztége forg, ezáltal a tekercsoldal v_y kerülhet se-

6.1. ábra. A szinuszos fezzeliség keletkezése



Ha a 6.1. ábra szerint, a mágneses polusai közötti homogen mágneses terben egy ten-
 gely körül tekercs forgatunk állandó szögsebesztégegel, a tekercsben szinuszos
 valtakozó fezzeliség indukálódik.

6.1. A szinuszos valtakozó fezzeliség előállítása

Valtakozó fezzeliségétől esőről akkor beszélünk, ha irányuk ismétlődően, peri-
 odikusan változik. A gyakorlatban legtöbbször a szinusz függvény szerint változó
 fezzelisegget használják. Az erőművekben, ipari merevkben elôállított fe-
 zelisegget esőről használják. Az erőművekben, ipari merevkben elôállított fe-
 zelisegget esőről használják. Az erőművekben, ipari merevkben elôállított fe-
 zelisegget esőről használják. Az erőművekben, ipari merevkben elôállított fe-

$$\text{Mértekegysége: } 1 \text{ Hz} = 1 \frac{1}{s}.$$

$$\text{A frekvencia a periodusidő reciprokája: } f = \frac{1}{T}.$$

Frekvencia: az 1 másodperc alatt lezajló periodusok száma, mértekegysége a hertz, jele Hz.

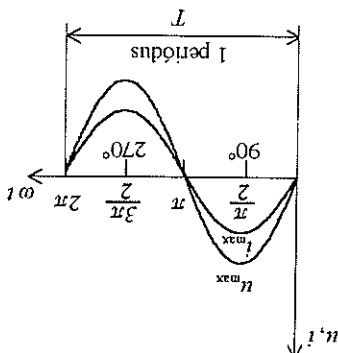
Periodusidő: 1 periodus lejárásának T ideje.

Periodus: a valtozás azon tartománya, amelyen belül a menetrendszer minden lehetőséges értékét együttesen elvészíti, a valtozás irányát is figyelmebe véve. Egy periodus 360°, ill. 2π szögfázisnyi jelent.

Periodus: a valtozás minden lejárásának a valtozás irányát is figyelmebe véve. Egy periodus

6.2. A váltakozó feszültség és áram jellemzői

6.2. ábra. Szinuszos feszültség és áram



Váltakozik. A feszültséget és az árat a 6.2. ábra szemlélteti.

Tehet a forgó tekercsben a feszültséget, ill. az árat időben szinuszfüggvény szerint változtatni.

Ehhez hasonlóan az áram: $i = i_{\max} \cdot \sin \omega t$.

$$u = u_{\max} \cdot \sin \omega t.$$

Igy az indukált feszültsége pillanatértékeinek általábanos alakja:

$$\text{A feszültsége legnagyobb értékét } \omega t = 90^\circ = \frac{\pi}{2} \text{ szögűre kapjuk: } u_{\max} = B \cdot l \cdot v_k.$$

$$\text{Ezzel az indukált feszültsége: } u = B \cdot l \cdot v_k \cdot \sin \omega t.$$

$$v_m = v_k \cdot \sin \alpha = v_k \cdot \sin \omega t.$$

Kerçsődára megrajzolt vektorok között is megjelölve $\alpha = \omega t$ szögegel:

A v_m sebességek komponenseit kifejezhetjük az államidő kerüléti sebességgel és a te-

Korrekvencia: a szinuszos váltózás szögsebesége, amelyet az oszcillágeszel definiálunk. Mértekegyisége: 1/s.

A feszültségek az aram $u = u_{\max} \cdot \sin \omega t = i_{\max} \cdot \sin \omega t$ általános kifejezésében is a korrekvencia szerpel, amely ott megegyezik a mechanikai szögsebeséget.

Effektív erek: a váltakozó feszültségeket és áramnak a tölesztárlatnál a pontjából jellemező átlagerek. Jele U es I .

Bizonyítható, hogy szinuszos váltózás esetén az effektív erek a max. erekkel a következő összefüggésekkel számítható:

$$U = \frac{u_{\max}}{\sqrt{2}} \quad \text{és} \quad I = \frac{i_{\max}}{\sqrt{2}}.$$

Elektrólíkus középerrek: a váltakozó feszültségeknek és áramnak a tölesztárlatnál a szemponijával jellemező átlagerekek.

A szinuszos feszültségek az aram elektrólíkus középeréke egy periodusra vonalko-

hányban. Ezért pl. váltakozó árammal nem lehet galvanizálni.

Az elektrólíkus középerrek a váltakozó mennyiségek egyenlítőit formaja

pl. felvészeti diódakkal, az egyik vágó mindkét félperiódusban, az áramkorban egy-esten van jelentősége. (Egyenirányítás alatt azt értjük, ha valamilyen eszközzel,

az elektrólíkus középerrek a váltakozó mennyiségek egyenlítőit szintűszerkekkel bizonyíthatóan az elektrólíkus középerrekkel szemlélik. A 6.3. ábra sima egyenáramot, valamint egy - es kétítményen egyenirányított szin-

Felsőbb matematikai módszerrel bizonyíthatóan az elektrólíkus középerrek

kétítménye egyenirányítás esetén:

$$I_k = \frac{i_{\max}}{\pi} = 0,318 \cdot i_{\max}, \quad U_k = \frac{u_{\max}}{\pi} = 0,318 \cdot u_{\max},$$

Egyetemes kétítményt azonban csak a váltakozó árammal lehet galvanizálni.

A 6.3. ábra sima egyenáramot, valamint egy - es kétítményen egyenirányított szin-

trányú áramot hozunk lefelé.)

Az elektrólíkus középerrek a váltakozó mennyiségek egyenlítőit formája

esten jelentősége. (Egyenirányítás alatt azt értjük, ha valamilyen eszközzel,

az elektrólíkus középerrek a váltakozó mennyiségek egyenlítőit formája

szinuszban jelentősége. (Egyenirányítás alatt azt értjük, ha valamilyen eszközzel,

az elektrólíkus középerrek a váltakozó mennyiségek egyenlítőit formája

szinuszban jelentősége. (Egyenirányítás alatt azt értjük, ha valamilyen eszközzel,

az elektrólíkus középerrek a váltakozó mennyiségek egyenlítőit formája

szinuszban jelentősége. (Egyenirányítás alatt azt értjük, ha valamilyen eszközzel,

A váltakozó áramú halozatokat, bemeneteket, fogyasztókat általában az effektív erekkel jellemzik, az adattablakon ezeket tüntetik fel. A halozati 230 V is effektív-

A váltakozó áramú halozatokat, bemeneteket, fogyasztókat általában az effektív erekkel jellemzik, az adattablakon ezeket tüntetik fel. A halozati 230 V is effektív-

Elektrólíkus középerrek: a váltakozó feszültségeknek és áramnak a tölesztárlat-

triv erek.

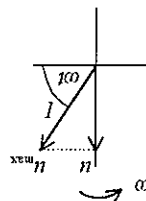
A váltakozó áramú halozatokat, bemeneteket, fogyasztókat általában az effektív erekkel jellemzik, az adattablakon ezeket tüntetik fel. A halozati 230 V is effektív-

Elektrólíkus középerrek: a váltakozó feszültségeknek és áramnak a tölesztárlat-

Effektív erek: a váltakozó feszültségeket és áramot a munika, ill. teljesítmény szem-

Korrekvencia: a szinuszos váltózás szögsebesége, amelyet az

$$\omega = \frac{T}{2\pi} = 2\pi \cdot f$$



ábrázolt mennyisége pillanatiről adja meg (6.4. ábra).
gyel pozitív irányával számítjuk, akkor a függeléges tengelyre képzelte vertikelt az
ben az áramultató járásával ellentétes irányba és szögelfordulását a vizszintes ten-
trekvenciával egyenlő szögesbeesseggel forog egy derékszögű koordináta-rendszer-
Ha az ábrázolás mennyisége max. értékkel mindenhol hosszúságú vektor az ω kör-

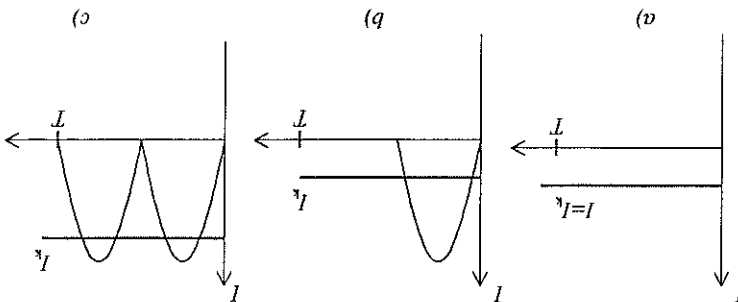
6.3.2. Ábrázolás forgó vektorokkal

technikában használják általánosan.
hezen rögzíthető meg és több görbe esetén kevésbe áttekinthető. Az áramiránytól
megárazolásá esetén valamennyi pillanatiről megállapítható. Ha részben, hogy ne-
A módszer a 6.2. ábra kapcsán már láttuk. Előnye, hogy egy vagy több periódus

6.3.1. Ábrázolás szinuszosiból

6.3. A váltakozó feszültség és áram ábrázolási modjai

6.3. ábra. Elektromos feszültség és áram



- Az ábra szerint a függvény terepjárásának arányos a $n = n_{\max}$. Ilyenkor, megegyezően az indukált feszültségek pillanatirányainak alakjával.
- Mivel az effektív terékpont gyengebb, mint a max. erőkkel, ezért a vektorábrákat az effektív erőkkel is megfajozhatjuk.
- A vektoros ábrázolás elönnye a könnyű megfajozhatóság. A mennyiségekkel végezetet művelhetünk, elosztva az összeadás és kivonás, a vektorokra érvényes szabályokat.
- Mivel a vektorok háromszögeket, paralleogrammákat alkotnak, így az ezekre érvényes összefüggések is felhasználhatók a számítások során.
- A vektoros ábrázolás hatanya, hogy minden csak egy pillanatra érkezik minden.
- A fázis kiegészítésen a váltakozó mennyiségek pillanatirányai változásai állapotaik:
- Ha két minden fázisban a váltakozó mennyiségek pillanatirányai változásai állapotaik:
- Ha pl. a pozitív vagy negatív irányú nullaátméneterük nem minden időpillanatban max. értékkel minden fázisban van.
- Ha pl. a fázis nullaátméneterük nem minden időpillanatban van.
- A 6.5. ábrára vonatkozó minden fázisban a váltakozó mennyiségek pillanatirányai változásai állapotaik:
- a 6.5.a) ábrában az $\phi = 0^\circ$; a vektorok minden időben ugyanolyan.
 - a 6.5.b) ábrában az $\phi = 90^\circ$; a vektorok minden időben ugyanolyan.
 - a 6.5.c) ábrában az $\phi = 180^\circ$; a vektorok minden időben ugyanolyan.
 - a 6.5.d) ábrára esetén a feszültség maximumának pillanatában az áram negatívan meglelhető a feszültség vektorájában.

6.4. A fázis, a fáziskülnösségek, a fázisszög

- Az ábra szerint a függvény terepjárásának arányos a $n = n_{\max}$. Ilyenkor, megegyezően az indukált feszültségek pillanatirányainak alakjával.
- Mivel az effektív terékpont gyengebb, mint a max. erőkkel, ezért a vektorábrákat az effektív erőkkel is megfajozhatjuk.
- A vektoros ábrázolás előnye a könnyű megfajozhatóság. A mennyiségekkel végezetet művelhetünk, elosztva az összeadás és kivonás, a vektorokra érvényes szabályokat.
- Mivel a vektorok háromszögeket, paralleogrammákat alkotnak, így az ezekre érvényes összefüggések is felhasználhatók a számítások során.
- A vektoros ábrázolás hatanya, hogy minden csak egy pillanatra érkezik minden.
- A fázis kiegészítésen a váltakozó mennyiségek pillanatirányai változásai állapotaik:
- Ha két minden fázisban a váltakozó mennyiségek pillanatirányai változásai állapotaik:
- Ha pl. a pozitív vagy negatív irányú nullaátméneterük nem minden időpillanatban van.
- Ha pl. a fázis nullaátméneterük nem minden időpillanatban van.
- A 6.5. ábrára vonatkozó minden fázisban a váltakozó mennyiségek pillanatirányai változásai állapotaik:
- a 6.5.a) ábrában az $\phi = 0^\circ$; a vektorok minden időben ugyanolyan.
 - a 6.5.b) ábrában az $\phi = 90^\circ$; a vektorok minden időben ugyanolyan.
 - a 6.5.c) ábrában az $\phi = 180^\circ$; a vektorok minden időben ugyanolyan.
 - a 6.5.d) ábrára esetén a feszültség maximumának pillanatában az áram negatívan meglelhető a feszültség vektorájában.

erőtelkezés jutunk:

$$I = \frac{U}{R} .$$

Ha az $i_{\max} = \frac{R}{u_{\max}}$ egyenlőség mindenket oldalat osztjuk $\sqrt{2}$ -vel, az áram effektív

lág azonos: $u = u_{\max} \cdot \sin \omega t$, $i = i_{\max} \cdot \sin \omega t$.

Az áram maximumát a feszültség maximuma hozza lefelre, azaz a feszültségek az aram azonos fázisú, a fazisszöge $\phi = 0^\circ$. Igya a két mennyisége időfüggvénye formalit-

$$i = \frac{R}{u_{\max}} \cdot \sin \omega t = \frac{R}{u_{\max}} \cdot \sin \omega t .$$

erőtelkezeti Ohm törvénye szerint határozhatjuk meg:

Ha egy ellenállásra szinuszos váltakozó feszültséget kapcsolunk, az áram pillanat-

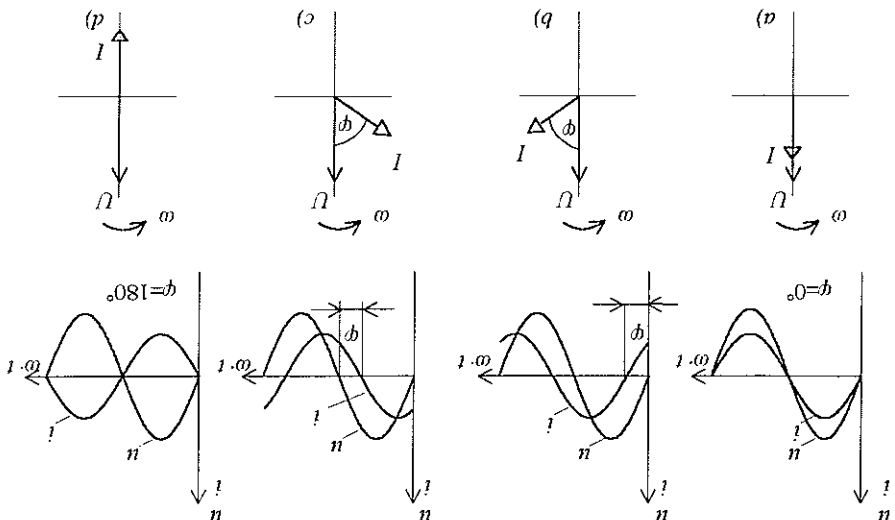
6.5.1. Ellennállás váltakozó áramú körben

viselkedése váltakozó áramú körben

Az ábrázolás során valamelyik célszerűen megtálasztott mennyiségeket alaphelyez-

tünk visszük, és a többi ehhez képest fazishelyesen rajzoljuk meg.

6.5. ábra. A fázis, a fazisszög fogalma



A folyamatos változás fejlesztésége pozitív nulla-átmeneteinek pillanatában készve, a kon-nagy szintűszösz változóhoz feszültséget kapcsolunk, a lejártszödő folyamatoit a 6.8. ábra alapján vizsgálhatjuk.

6.5.2. Kondenzátor váltakozó aramú körben

A teljesítményt az alábbi képlet adja:

$$P = \frac{W}{T} = \frac{U \cdot I \cdot T}{T} = U \cdot I,$$

azaz a feszültség és a váltakozó áramnak szorzata. A teljesítményt a következőkben kiszámítjuk, felhasználva az effektív értékeket:

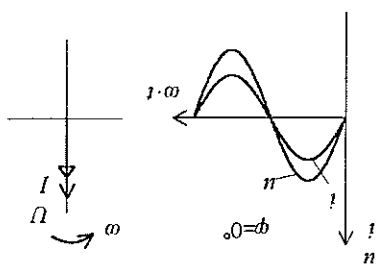
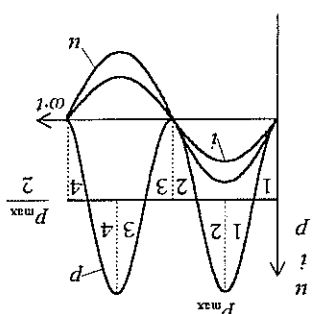
$$W = P_{\max} \cdot T = \frac{U_{\max}^2}{2} \cdot T = \frac{U_{\max}^2}{2} \cdot \frac{\sqrt{2}}{\omega} = \frac{\sqrt{2}}{\omega} \cdot U_{\max} \cdot I \cdot T,$$

ahol a ω a rendszerbeli állandó, a U_{\max} a csúcspotenciál, a I a csúcspárhuzamosási áram, a T a periódusidő. A teljesítményt a következőkben kiszámítjuk, felhasználva a munikaálási módszert:

$$P_{\max} = \frac{2}{\pi} \cdot \frac{U_{\max}^2}{2} \cdot \frac{I_{\max}^2}{2} \cdot \frac{\pi}{4} = \frac{\pi}{4} \cdot U_{\max}^2 \cdot I_{\max}^2,$$

ahol a U_{\max} a csúcspotenciál, a I_{\max} a csúcspárhuzamosási áram, a ω a rendszerbeli állandó.

6.6. Ábra. Ellenzállás feszültsége



Öhm törvénye tehát az effektív értékekre is igaz. Az ellenzállás feszültségeit és áramát fizikailag a 6.6. ábra szemlélteti. Az ellenzállás feszültségeit és áramát fizikailag a 6.7. ábrán. Erdeemes ezt nyomon követheti a 6.7. ábrán.

A 6.8.d) ábra felülméretű kondenzátor teljesítményfüggvényeit is, amely kétzrészű feszültségű sinuszgörbe. A görbe alsatú területe a villamos munkával arányos. Végyük elszre, hogy a töltéshez pozitív, a kisütéshez negatív területtel tarozik és a kétterület abszolut értéke egyenlő. Ez azt jelenti, hogy a kondenzátor a töltéskor fel-területtel körülölelik a töltést, míg a kisütéskor a töltést körülölik.

Ez a 6.8.b) és 6.8.c) ábrán látható.

Az árameregszeg tehát a feszültséghöz képest fázisban 90° -ot szét.

Venyit követ: $i = i_{\max} \cdot \cos \omega t = i_{\max} \cdot \sin(\omega t + 90^\circ)$.

Bizonyítható, hogy a leírt folyamatban az árameregszeg változása koszinuszfügg- denezátor tehát a feszültség egy periódusa alatt kétzről félötözőként lesz kétzről kisül. A kon- lariassal. Végezzük a negyedik negyedik periodusban újabb kisülés körvonalakat. A kon- A harmadik negyedik periodusban a kondenzátor ismét félötözőként, de ellentétes po- lárámmal ellentétes irányú, mint ahogy azt a 6.8.a) és 6.8.b) ábra is szemlélteti. A csúcserétek után az energiáforrás feszültsége csökkenni kezd, ezt követi a kon- denzátor töltésének csökkenése, tehát a kondenzátor kisül. Az i , kisülő áram a tölt- max., ez pedig a feszültsége nulla-almenetének pillanataiban van.

Az i , árameregszeg akkor lesz a legmagasabb, amikor feszültségváltozás sebessége az i feszültséggel szemben elérőleg az i , töltő-árameregszeg is nulla. Nyilván igy az elöző összefüggés eredményben ekkor az i , töltő-árameregszeg nem változik: $\Delta u = 0$, félötözőként. Az u_{\max} igen kis Δt idővel ütemben a feszültsége nem változik: $\Delta u = 0$. A 6.8.b) ábrán a feszültsége előző negyedik periodusban a kondenzátor u_{\max} értékre tehet az áram pillanatére ke egyenesen arrányos a feszültségváltozás sebességevel.

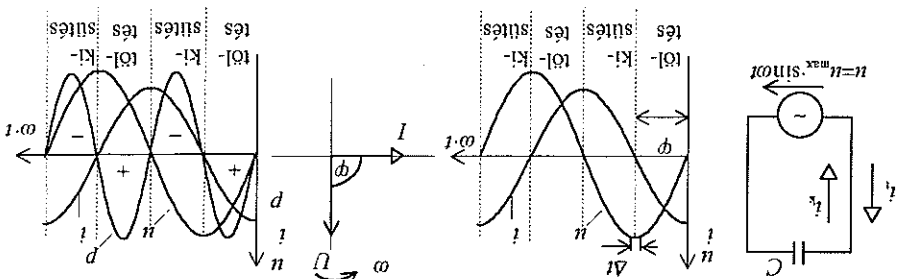
$$i = \frac{\Delta q}{\Delta u} = C \cdot \frac{\Delta t}{\Delta u},$$

a változás idejével:

A feszültség Δu megtárolására $\Delta q = C \cdot \Delta u$ töltésváltozást eredményez. A töltés valtozása villamos áramot hoz létre, amely a kondenzátorhoz csatlakozó vezetők- ben folyik. Az áram pillanatnyi erősségeket megkaphatók, ha a töltésváltozást elosztjuk a változás idejével:

6.8. ábra. Kondenzátor változó áramú körben

(a) (b) (c) (d)



egyenlő a tekercsre kapcsolt feszültség pillanatirétekevel. A feszültség változását pillanatirétektől feszültségek indíthatók, amely *Kirchhoffi húrok* vonják el kovetkezően.

$$u_i = L \cdot \frac{di}{dt}$$

Folyék a tekercsben i_{\max} . Sinus függvénynek megfelelő aram, ahogy azt a 6.9.b) ábra mutatja. Az aram változása:

A jelenséget a 6.9. ábra segítségével értelemezhetjük.

gyerkezik.

Ha egy ideális tekercsben (a tekercs ellenállása nulla) váltakozó áram folyik, akkor váltakozó mágneses fluxus keletkezik, amely a tekercsben önmindukciós feszültséget eredményez.

6.5.3. Tekercs váltakozó áramú körben

Ebbel az összefüggéssel követhető, hogy a kondenzátor kis frekvencián nagy telítési - esetleg nulla - tekinthető - ellenállást jelent. - esetleg végtelennek tekinthető - ellenállást képvisel, nagy frekvencián kis er-

A kapacitív ellenállás bizonytalan fordítottan arányos a frekvenciával és a kondenzátor kapacitásával. Ez a hanyados a kapacitív reaktanciának nevezik. A kapacitív ellenállás merekegysége is az Ω .

$$X_C = \frac{1}{C} = \frac{\omega \cdot C}{1}$$

denzátor kapacitásával.

Ilyenkor a feszültség a kapacitív ellenállásnak megfelelően a tekercsben nem feltüntetendő.

$$X_C = \frac{I}{U}$$

Kondenzátor esetén is értelmezhető az aramkörához hatás, hasonlóan az ellenállásokhoz, a feszültség es az aramereosség effektív ertereknél hanyadosaként:

Ilyenkor a feszültség a kondenzátorban nem feltüntetendően a tekercsben. A meddő teljesítményt merítékegységevel is megkülönböztetjük, amelyet Q jelöl. (Ejtsd: volt amper reaktív!) Ilyenkor a feszültség a kondenzátorban nem feltüntetendően a tekercsben. A meddő teljesítményt merítékegységevel is megkülönböztetjük, amelyet Q jelöl. (Ejtsd: volt amper reaktív!)

oda áramló energiat a $Q = U \cdot I$ tehát a kondenzátor teljesítménye is nulla. A kondenzátor es az aramkör körzött ide-

$$P = \frac{U}{W} = 0,$$

velet energiait kisülleskör viszszatáplálja az aramkörbe. Ilyenkor a kondenzátor által felhasznált munka nulla. Ebből következően:

kerülő munakat jelezní.

Lyamán a mágneses energiából villamos energiává alakulás es az áramkörbe vissza-tekercesekkor mágneses energiatárol. A negatív munakaterület az önjindikció folyamán a pozitív munakaterület a mágneses teret felépítő munakat jelenti, a meddőfeljegyzésben jellemzők, a kondenzátorral egyezően.

$$Q = U \cdot I$$

Középeretke nulla. A körben ide-oda áramló energiát a 16 energiája egyenlő, így a tekerces munakat jellemző pillanatnyi teljesítmények között körben a félvétel es az önjindikció kovákkal szemben az áramkörbe viszakérülés a kondenzátorral megegyező eredményre vezet; az ideális terekercs a kondenzátorral szemben 6.9.d) ábra szerint. Az ábra elemzé-

Az ideális terekercs teljesítményviszonya 6.9.d) ábra szemléletei. Az ábra elemzéssel ellentétesen lemarad 90° -kal, a 6.9.c) ábrán látható módon.

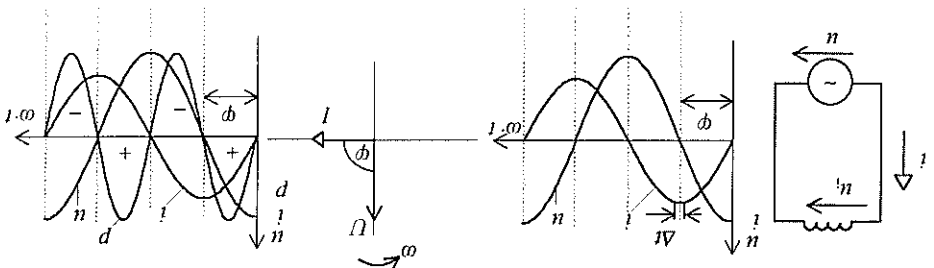
Ez látható a 6.9.b) ábrán. A vektorterjesztésben a rezonansszög $\phi = 90^\circ$ -os fazisszöggel szűrve megjelölve, a feszültségekhez képest a zárt $\phi = 90^\circ$ -os fazisszöggel készít.

$$u = u_1 = u_{\max} \cdot \cos \omega t = u_{\max} \cdot \sin(\omega t + 90^\circ)$$

Ideális terekercs esetén az áramhoz képest a feszültség $\phi = 90^\circ$ -os fazisszöggel szűrve a szinusztípusúbb feszültség is polaritást vált. A gondolatmenetet fölgytava bizonyítható, hogy a szinusztípusúbb feszültség a szinusztípusúbb árammalozás kozsizmusszögörbe szemantikával szisztematikusan előfordulhat, amely egyszerűen a terekercse kapcsolt feszültségeivel:

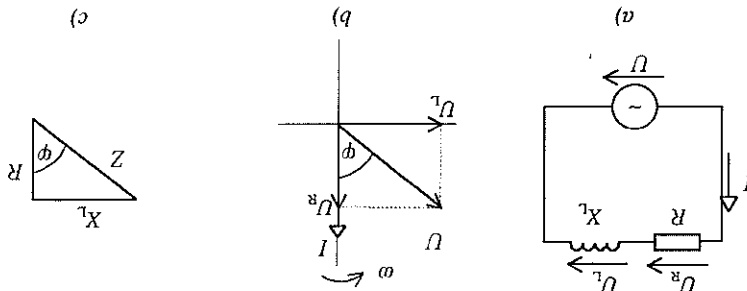
6.9. ábra. Terekercs változó áramú körben

(a) (b) (c)



Kovákkal alapján határozhatjuk meg. Az áram változását a periódus kezdetétől kor ötöt a Δt áramváltozás nullának tekinthető. Ebből kovákkézzen ekkor az u_1 indúsított feszültsége is nulla. A feszültség akkor lesz max., amikor az áramváltozás sebes-kor ötöt a Δt áramváltozás nullának környezetét vizsgáljuk, ak-

segé a legnagyobb, tehát az áram pozitív irányú nullákkalmenetének pillanataiban.



A 6.10. ábrán látható a kapcsolás. A bejelölt mennyiségek effektíven értelek. A soros kapcsolás miatt az elemeken azonos áram folyik, ezért a vektorábrában az áramot fázisú, a tékercs feszültségeitől mindenkor 90°-ot sírel.

6.6.1. Ellennállás és tékercs soros kapcsolása (soros RL-kör)

$$\Sigma I = 0 \quad \text{és} \quad \Sigma U = 0.$$

Az összetett valtakozó áramú körököt is *Krichhoff torványainak* felhasználásaval vizsgálhatjuk, tágylembe véve, hogy a valtakozó áramú körök feszültségei és áramai vektorok. Ezért a csomóponti és a huroktörvény is vektoralan elvénnyel:

6.6. Összetett valtakozó áramú körök

A tékercs kis frekvencián kis ellennállást – esetleg végfelmenek tekintetően – jelent, nagy frekvencián nagy ellennállást – esetleg végfelmenek tekintetően – jelent.

Bizonyítható, hogy az induktív ellennállás egyenesen arányos a frekvenciával és a tékercs induktivitásával: $X_L = \omega \cdot L = 2\pi \cdot f \cdot L$.

Az induktív ellennállás merőlegessége is az Σ .

$$X_L = \frac{U}{I}$$

nevezük:

Az áramkorlátozó hatását a feszültség es az áramátosság effektív értékének hagyja. Az osztályban értelmezük és induktív ellennállásnak, induktív reaktanciának. A tékercsnek is van áramkorlátozó hatása, amely az önminduktív körvelkezésenye.

Az ellenállásban ϕ szögben a kapcsolatot adó részszámokat az $\cos \phi = \frac{U_L}{U_B}$ képlete adja meg. Az ellenállás R értékét a $R = \frac{U_B - U_L}{I}$ képlete adja meg.

6.6.2. Ellenállás es tékercs parhuzamos kapcsolása

(parhuzamos RL-kör)

A 6.10. ábra alapján:

$$\cos \phi = \frac{U_L}{U_B} = \frac{Z}{R}$$

szinusztal fázisállományban, vagy másnéppen teljesítmény-fázisállományban nevezik. Az ilyen áramkörököt induktív jellegüknek mondjuk. A fázisszög körülbelül 90°-os. Az ellenállás fázisállományban az áramkörre kapcsolt feszültsége és a hatásra jövő áram közötti fázisállományban a feszültség által mindenkorban 0°-os. Kizártak a meleg áramkörök, amelyek általábanosságban az áramkörre kapcsolt feszültsége jellemzően hirtelen, amelyet a feszültségi zavaroknak nevezünk.

Az áramkör fázisállományait a 6.10. ábrában is feltüntetett φ fázisállománygel jellemzi. Az áramkör fázisállományai a 6.10. ábrában is feszültséggel jellemzik.

Ezért a kifejezés szerint az ellenállások is feszültségek által meghatározott de-

résszögű harmonikus rezonancia:

$$Z = \sqrt{R^2 + X_L^2}$$

$$Z = \sqrt{R^2 + X_L^2}$$

ebből következik:

$$X_L = \sqrt{Z^2 - R^2}$$

$$R = \sqrt{Z^2 - X_L^2}$$

átlátható:

$$R = \sqrt{\frac{U_B^2}{U_B^2 + U_L^2}}$$

$$X_L = \sqrt{\frac{U_L^2}{U_B^2 + U_L^2}}$$

$Z = \sqrt{R^2 + X_L^2}$ összefüggésnek az áram negyzetével végezhető osztásaval kapcsolatban:

Az impedancia kapcsolatát az ellenállásossal és az induktív reaktanciával a

összefüggéssel határozzuk meg. Ez lenyegileg az áramkör eredő ellenállása.

$$Z = \sqrt{\frac{U_B^2}{U_B^2 + U_L^2}}$$

A kör áramkörállománytól függetlenül, amelyet látszolagos ellenállásnak, idegen szövvel íme:

$$Z = \sqrt{R^2 + X_L^2}$$

$$U_L = \sqrt{U_B^2 + U_L^2}$$

A vektoralgebrai feszültsége a harmonikus állandózáva Pythagorasz tételét, írható:

Az energiaháborúkban a feszültsége a harmonikusny szerint U_B és U_L vektortos összege.

$$Y_2 = G_2 + B_2^L$$

A vezetőképeessegek felhasználásaval az előző kifejezés:

$$\frac{1}{Z} = Y \quad \text{az eredő vezetőképeessege, máskeppen admittancia.}$$

$$\frac{1}{X_L} = B_L \quad \text{az induktív vezetőképeessege, máskeppen induktív szuszceptancia,}$$

$$\frac{1}{R} = G \quad \text{az ellenállás vezetőképeessege,}$$

A zártjelben levő tortek vezetőképeessegek:

$$\cdot \left(\frac{1}{X_L} \right) + \left(\frac{R}{U} \right)^2 = \left(\frac{Z}{I} \right)$$

egyszervűstök után:

$$\cdot \left(\frac{1}{X_L} \right) + \left(\frac{R}{U} \right)^2 = \left(\frac{Z}{I} \right)$$

lyettesti jük:

azszellősségek aránya Ω hoz kövényle által a feszültségek és az ellenállásokkal hozzájárulnak az ellenállásokat az induktivitásval, ha az $I^2 = I_R^2 + I_L^2$

$$\text{Az áramkör impedanciája: } Z = \frac{U}{I},$$

$$I^2 = I_R^2 + I_L^2 \text{ es ebből: } I = \sqrt{I_R^2 + I_L^2}.$$

máink vektoralakú ábráján: A 6.II.b)

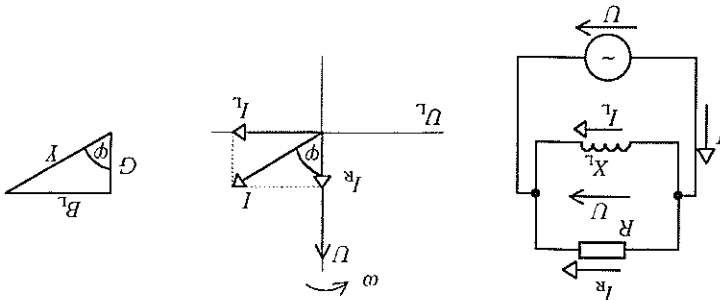
Az energiáforrás aráma a komponenciák szerint az ellenállás es a terhelés ará-

6.II. ábra. Ellennállás es terhelés párhuzamos kapcsolása

(c)

(b)

(a)



$$\cos \phi = \frac{U_R}{U} = \frac{R}{Z},$$

$$Z = \sqrt{R^2 + X_C^2},$$

$$Z = \frac{I}{U}$$

$$U = \sqrt{U_R^2 + U_C^2},$$

Az összefüggések levezetése a soros RL-kapcsolásból hasonló.

Az ellenállás fejlesztésével A vektorok összegzése itt is felülvitté Pitagorasz tételre.
giátorral a kondenzátor fejlesztéségenek vektoros összegzése egyenlő az energiát elszállítás es a kondenzátor fejlesztéségenek vektorok kapacitív jellegré.

Az ellenállás kezében keresztben. Minnek megfelelően az áramkör kapacitív jellegré.

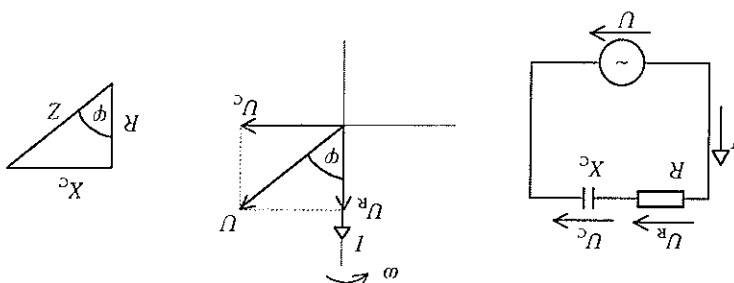
Az áramkör vektorábrájaiban (6.12.b) ábra) az U , fejlesztésége 90° -ot kétsík az áram-

6.12. ábra. Ellenállás és kondenzátor soros kapcsolása

(a)

(b)

(c)



Az áramkör a 6.12.a) ábra szemléleti.

6.6.3. Ellenállás és kondenzátor soros kapcsolása (soros RC-kör)

$$\cos \phi = \frac{I}{I_F} = \frac{Y}{Z}.$$

A fáziságyazat a 6.11.b) és c) ábra alapján írhatjuk fel:

(6.11.c) ábra).

A vezetőképességek összefüggésének Pitagorasz tételé alapján megfelelhetőleg egy derékszögű harmonikus, amely az áramkör által alkotott harmonikusból hasonló

$$\cos \phi = \frac{I}{I^c} = \frac{Y}{Z}$$

A vezetőképességek harmosszöge a 6.13.c) ábrán látható.
cepelnica. $Y^c = G^c + B^c$.

Az $\frac{X_c}{I^c} = B^c$ kifejezés a kapacitív vezetőképessége, másképpen kapacitív szusz-

$$\left(\frac{I}{I^c} \right)^2 = \left(\frac{R}{I^c} \right)^2 + \left(\frac{X_c}{I^c} \right)^2$$

$$I = \sqrt{I_r^2 + I_c^2},$$

Az összefüggések levezetése a párhuzamos RL-kapcsolás esetéhez hasonló.

Az elemekkel. A vektortok összegére itt is felírható Pitagoras tétel.

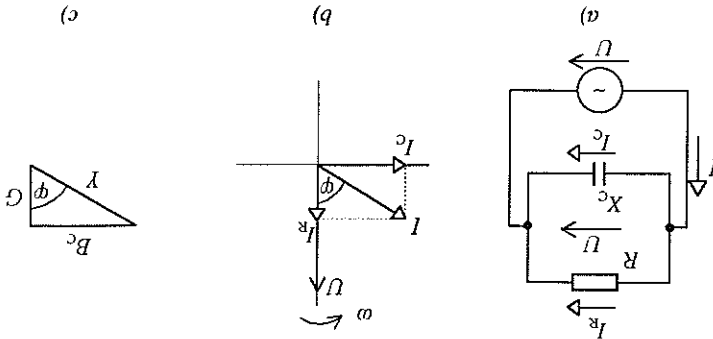
Az ellennállás és a kondenzátor áramának vektoros összegére egyenlő az energiatör-

sítet az U feszültséghöz képest, ezért ez a kör is kapacitív jellegű.

A párhuzamos RC-kör vektorábrájaiban (6.13.b) az I^c kapacitív áram 90° -ot

Ez az aránytól a párhuzamos RL-kapcsolásban mindenhol következik.

6.13. ábra. Ellennállás és kondenzátor párhuzamos kapcsolása



A kapcsolást a 6.13.a) ábra szemlélteti.

(párhuzamos RC-kör)

6.6.4. Ellennállás és kondenzátor párhuzamos kapcsolása

$$Z = R + (X_L - X_C)$$

A zártjeléken belül az impedanciát, az ellenállásit és a reaktanciákat kaptuk:

$$\frac{U}{I} = R + \left(\frac{1}{X_L} - \frac{1}{X_C} \right)$$

A kifejezést átalakítva:

$$\frac{U^2}{I^2} = R^2 + \left(\frac{1}{X_L} - \frac{1}{X_C} \right)^2$$

re vonatkozó képletek elosztjuk az áramereßseg négyzetével:

Az áramkör impedanciajárat a 6.14.c) ábra szemléleti. Ez akkor valósul

kapacitív jellegű vektorrábra a 6.14.c) ábra szemléleti.

Meg, ha az X_C kapacitív ellenállás nagyobb, mint az X_L induktív ellenállás. A Ha az U_C nagyobb, mint U_L , akkor az áramkör kapacitív jellegű. Ez akkor valósul

az $U_L = I \cdot X_L$ akkor lesz nagyobb, mint az $U_C = I \cdot X_C$, ha X_L nagyobb, mint X_C .

az $U_L = I \cdot X_L$ fezzelésekkel. Mivel a tekercs és a kondenzátor áramereßsege egyenlő, hogy ez akkor jön letrő, ha az U_L náramereßseghez képest. Az ábra alapján látható, hogy a kondenzátoron keresztül árameléssel,

A 6.14.b) ábra induktív jellegű áramkör jellemzései, mert az U fezzeléseg síet az I

jan a fezzelések összefüggése: $U = U_L + U_C$.

A vektoros összehasdast az U_L és az U_C fezzelésekkel kezdjük. A vektorábra alap-

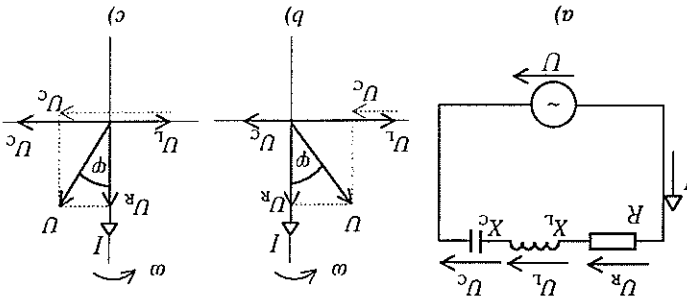
A harmón fezzelégesek vektoros összegére egyenlő az energiatörök U fezzelésekkel.

Épppedig 90° -ot készít az áramhoz képest. Igaz az U_L és az U_C fezzelések ellenállási-

sége azonos fázisú. A tekercs U_L fezzelésegére 90° -ot szét, a kondenzátor U_C fezzelése-

A 6.14.b) ábrában az alapvektor az I áramereßseg, amelyet az ellenállás U_R fezzelé-

6.14. ábra. Ellenállás, tekercs és kondenzátor soros kapcsolása



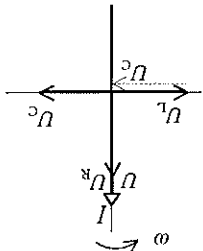
A 6.14. ábrán látható a soros RLC-kör (soros rezgőkör) kapcsolása.

(soros RLC-kör)

6.6.5. Ellenállás, tekercs és kondenzátor soros kapcsolása

Kis ertékelés esetén is veszélyes eretkív U_L és U_C feszültségek jöhetnek letre. Az áramkörre kapcsolt U feszültségeknek. A soros RLC-s aramkorben az U feszültsége valamint rezonanciaián az $U_L = I \cdot X_L$ és $U_C = I \cdot X_C$ feszültségek sokszerűen lehetségesek. Lás jobbá kisebb az X_L és X_C reaktanciákban, akkor a rezonanciaihoz közel állapotban adott U feszültségen a legnagyobb az aramkor Z impedancia. Ha az áramkörben az R ellenállás jóval kisebb az X_L és X_C reaktanciákban, akkor a rezonanciaihoz közel állapotban a rezonanciai esetén a legkisebb az aramkor Z impedancia. Ebben körvonalban egy

6.15. ábra. A soros RLC-s aramkor vektoralbrája feszültségrezonanciai esetén



A rezonanciaiára vonatkozó vektoralbrát a 6.15. ábra szemlélteti.

A leírt jelenséget feszültségrezonancianak nevezzük.

$$U = U_R + (U_L - U_C) = U_R, \text{ tehát } U = U_R.$$

Lás U_R feszültséggel azonos:

Mivel a reaktanciák egységeséből következően az $U_L = I \cdot X_L$ és $U_C = I \cdot X_C$ feszültségek is egyenlök, belátható, hogy az energiatartás U feszültsége az ellenállás-tartalmazna.

Ez azt jelenti, hogy az aramkörre kapcsolt U feszültség es a hatására folyó I ellen-sége áram azonos fázisú. Az áramkör tehát úgy viselkedik, mintha csak az R ellen-

szilárd részét alkotná.

$$\cos \phi = \frac{R}{Z} = \frac{R}{\sqrt{R^2 + (X_L - X_C)^2}} = 1 \quad \leftarrow \phi = 0^\circ$$

a fázistenyező peddig:

$$Z = \sqrt{R^2 + (X_L - X_C)^2} = \sqrt{R^2} = R$$

Ekkor az aramkor impedanciajá:

Speciális eset, amikor az X_L induktiv és az X_C kapacitív reaktancia egyenlő.

$$\cos \phi = \frac{U_R}{U} = \frac{I \cdot R}{I \cdot Z} = \frac{R}{Z}.$$

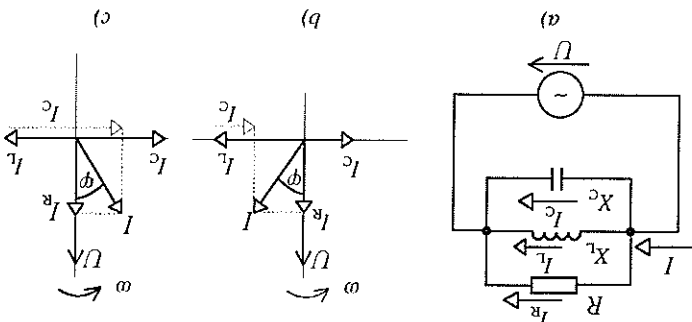
Az aramkor fázistenyezője a vektoralbrák alapján:

$$Z = \sqrt{R^2 + (X_L - X_C)^2}$$

Nagyobbokvonaival az impedancia kifejezése:

Az áramkörök elemei közös feszültségevel azonos fazisú az ellenállás I_R ellenállásában, a tekercs I_L árama 90° -ot késik, a kondenzátor I_C árama 90° -öt előzi. Ennek alapján megerősítőt az áramkör vektorábrázolája.

6.16. ábra. Ellenállás, tekercs és kondenzátor végvaios kapcsolása



A párhuzamos RLC -kör (párhuzamos rezgőkör) kapcsolását a 6.16.a) ábra mutatja.

6.6.6. Ellenállás, tekercs és kondenzátor párhuzamos kapcsolása (párhuzamos RLC -kör)

Frekvenciai jön letre. Az f_0 frekvenciát szokás rezonanciafrekvenciának nevezni, a vonatkozó összefüggéssel pedig – első megfogalmazásjáról – Thomson-képletek.

$$f_0 = \frac{1}{2\pi\sqrt{L \cdot C}}$$

Egy adott induktivitás és kapacitás esetén a rezonancia az kifejezésre jutunk:

$$C = \frac{1}{4\pi^2 \cdot f_0^2 \cdot L}$$

ha a kapacitást kell meghatározni, akkor a

$$L = \frac{1}{4\pi^2 \cdot f_0^2 \cdot C}$$

Egy adott f_0 frekvencián, es adott kapacitás esetén a rezonanciahoz tartozó induk-

$$\text{feszességi kapacitás: } 2\pi \cdot f \cdot L = \frac{1}{C}$$

A rezonancia letrejöttének részletesebb összefüggéseit az $X_L = X_C$ egyenlőség köré-

$$\cos \phi = \frac{I}{\frac{U}{Z}} = \frac{I}{R} = \frac{I}{Z}$$

Az áramkör fázisáinak kifejezése a 6.16. ábra vektorai alapján:

$$Z = \frac{Y}{I}$$

$$Y^2 = G^2 + (B_L - B_C)^2$$

Egyszerűbb kifejezésre jutunk a zártobjektben levő vezetésekkel:

$$Z = \frac{\sqrt{\left(\frac{R}{I} \right)^2 + \left(\frac{X_L - X_C}{I} \right)^2}}{I}$$

$$\left(\frac{Z}{I} \right)^2 = \left(\frac{R}{I} \right)^2 + \left(\frac{X_L - X_C}{I} \right)^2$$

cia keplete:

osszefüggésre jutunk, amelyet az I feszültséggel elosztva megkapunk az impedan-

$$\left(\frac{Z}{I} \right)^2 = \left(\frac{U}{I} \right)^2 + \left(\frac{X_L - X_C}{I} \right)^2$$

Ohm törvényevel kifejezve az áramokat az

$$I^2 = I_R^2 + (I_L - I_C)^2$$

A vektoriabrik alapján – a Pitagorasz-tétel felhasználásaval – az áramerősségek

segyefordítottak, azaz $X_C < X_L$.

Könnyű belátni, hogy kapacitív jellegű akkor lesz az áramkör, ha az egyenlötlen-

ctivitásnak ellentámasztja a rezonanciait.

egyenlötlenességre jutunk. Tehát akkor lesz induktív jellegű az áramkör, ha a kapacitivitásnak ellentámasztja a rezonanciait.

$$\text{esetén az } \frac{X_C}{U} < \frac{X_L}{I}, \quad \frac{X_C}{I} < X_L, \quad X_C > X_L$$

Az $I_C = \frac{X_C}{U}$ és az $I_L = \frac{X_L}{U}$ kifejezések összehasonlításával induktív jellegű áramkör

áramkör vektoriáját szemlélteti.

A 6.16.b) ábra induktív jellegű ($I_C < I_L$, a 6.16.c) ábra kapacitív jellegű ($I_C > I_L$)

$$f_0 = \frac{2\pi \cdot \sqrt{L \cdot C}}{1}$$

$$C = \frac{4\pi^2 \cdot f_0^2 \cdot L}{1}$$

$$L = \frac{4\pi^2 \cdot f_0^2 \cdot C}{1}$$

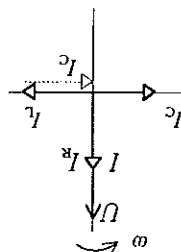
Mivel a rezonancia frekvenciájától függően a soros RLC -színkörével ($X_L = X_C$), ezért a soros kör rezonancia-színkörével tiltott frekvenciák:

$$\cos \varphi = \frac{I_R}{I_B} = \frac{I_R}{I_B} = 1$$

Az aramkör fazisfelvételére vonatkozó rezonancia:

Az energiatartalék terehéhez a parameterek rezonanciaiak a legkevesebb esetben lehetségesek.

6.17. ábra. A párhuzamos RLC -aramkör vektorábrája aramrezonancia esetén



Aramrezonancia esetén a reaktanciák egymáshoz következően az I_c és az I_L aramterhelésének is esetben, de ellennállásuk, ahogy az a 6.17. ábrán látható.

Ezt az esetet aramrezonanciának nevezzük.

$$Z = \frac{Y}{I} = R.$$

az impedancia értéke pedig ekkor a legnagyobb:

$$Y^2 = G^2 + (B_L - B_C)^2 = G^2, Y = G,$$

seből es az ellennállás vezetőképesességevel egyenlő:

Ha az aramkör reaktanciái esetben, akkor a B_L induktivitás a B_C kapacitív vezetőképesességekkel egyenlők. Ebből következően az admittancia értéke ekkor a legnagyobb.

Az áramkörben a kapacitív váltakozás mennyisége az I_C (elosztóáram) és a kondenzátoron keresztül áramló áram I_{RL} közötti szögű összefüggésben:

$$I_C = I_{RL} \cdot \frac{\cos \phi}{\cos \phi_{RL}}$$

$$\underline{AD} = I_{RL} \cdot \sin \phi_{RL}, \quad \underline{BD} = I \cdot \sin \phi, \quad I \cdot \cos \phi = I_{RL} \cdot \cos \phi_{RL},$$

A vektoriális alapján írható:

$$I_C = \underline{AB} = \underline{AD} - \underline{BD}.$$

Pithatóan a kondenzátor áramának az A-B távolsággal kell egyenlőnek lennie:

Ha a ϕ_{RL} fázisszögek, φ-re akárjuk csökkenetén, akkor a 6.18.b) ábrából meglátható,

a fázisjavításban szükséges kondenzátor kapacitásai

Peldekképpen határozunk meg azokat az összefüggéseket, amelyekkel kiszámítható

tasnák nevezük és a gyakorlatban fontos módszerre az energiagazdálkodásnak.

helyes csökkenteni (I kisebb, mint I_{RL} és ϕ kisebb, mint ϕ_{RL}). Ez az eljárat fázisjaví-

kapcsolunk egy alkalmás kapacitív kondenzátor, akkor az energiátartás aramter-

A vektorábraból kitűnik, hogy ha egy induktív jellegű fogasztóval párhuzamosan

zöli meghatározhatók.

A matikai összefüggések alapján, kello számú adat ismertetében, az áramkör jellem-

A vektorábrában található derékszögű és általános háromszögékre érvényes műve-

fejzületi szabályokat.

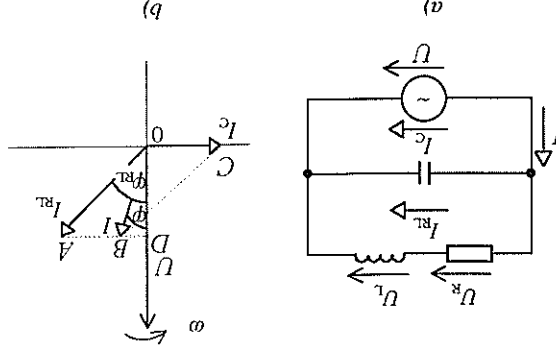
Venyböl következően az I_{RL} es az I_C vektoros összegje, amely $\phi < \phi_{RL}$ szöggel késik

denzátor I_C árama pedig 90° -ot sért. Az energiátartás I aráma a csomóponti tör-

jellegű, ezért az I_{RL} áramerejéssége ϕ_{RL} szöggel késik a fejzületi szabályokat.

Rajzoljuk meg a vektorábrát! Alapvetőtől kezdve a fejzületi szabályokat, mert az ener-

6.18. ábra. Ellennállás, tekercs és kondenzátor vegyes kapcsolása

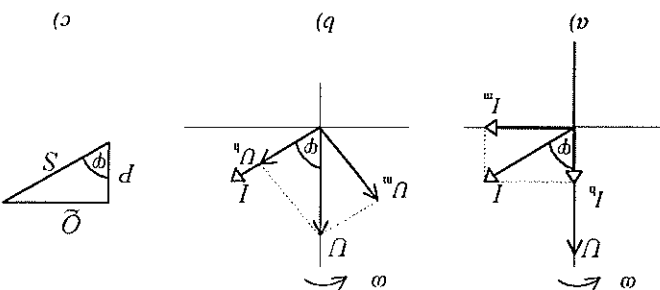


A lehetséges sokféle kapcsolás közül vizsgáljuk meg a 6.18. ábra szerinti áramkört!

6.6.7. Ellennállás, tekercs és kondenzátor vegyes kapcsolása

A teljesítményt az I_b komponensel számítjuk, mert az a feszültséggel azonos fázisú, tehát nulla fáziszöge: $P = U \cdot I_b$.

6.19. ábra. A valtakozó áramú teljesítmény meghatározása



Az $6.19.a)$ ábra I áramát félbonthatók két komponensre: a feszültséggel azonos fázisú I_b hatásos összettétele és a feszültségre merőleges I_m meddő összettétele.

Az $6.19.b)$ ábrán a fázisszög 0 es 90° között esik. Ez mellyben a megállapítások alapján meghatározhatjuk a teljesítményt olyan áramkör-

szímeny nulla ($I_a = 6.5.2.$ és $6.5.3.$ pontot). Ideális tekercs es kondenzátor esetén, amikor a fázisszög $\phi = 90^\circ$, a $P = U \cdot I$ telje-

látuk, a fázisszög $\phi = 0^\circ$.

A korábban megismert $P = U \cdot I$ kifejezéssel számíthatjuk. Ellentálas esetén, mint

A $6.5.1.$ pontban látuk, hogy az ellenállások teljesítményét az effektív eretkezésekkel

6.7. A valtakozó áramú körök teljesítménye és munkája

$$X_C = \frac{U}{I_C} = \frac{1}{2 \cdot \pi \cdot f \cdot C} \quad \rightarrow \quad C = \frac{1}{2 \cdot \pi \cdot f \cdot X_C}$$

szűksegek kapacitás kiszámítához:

A kondenzátor áramának ismeretében a $6.5.2.$ pontban megismert kifejezésekkel a

szűksegek kapacitás kiszámítása:

Ha a $\phi = 0$ állapotot akarjuk letervezni, az I áram ekkor a legkisebb, egy szérfürdő

$$I_C = I_{RL} \cdot (\sin \varphi_{RL} - \cos \varphi_{RL} \cdot \tan \phi).$$

A kiemelést es átalakítási elvégzése:

$$I_C = I_{RL} \cdot \sin \varphi_{RL} - I \cdot \sin \phi = I_{RL} \sin \varphi_{RL} - I_{RL} \cdot \frac{\cos \phi}{\cos \varphi_{RL}} \cdot \sin \phi.$$

Bélelyettesítés után:

A feszültségek es az áramelősszeg mérete az egyenáramú köröknél alkalmazott - 2.9., 2.10. és 2.11. ábra szerinti - kapcsolások alapján merhető.

6.8. A valtakozó áramú körök menyiségeinek mérése

A valtakozó áramú körök munkáját a hatásos teljesítmény es az idő szorzatából születik. Ez a teljesítmény a harmosszög hasonló a 6.19.a) es b) ábra áramai, ill. fe- szög φ-vel egyenlő, így ez a harmosszög hasonló a 6.19.a) es b) ábra áramai, ill. fe- szögét tekintve beláthatjuk, hogy ebben a harmosszögben a $P = S \cdot \cos\phi$ egyenlőségű harmosszögkel ábrázolható. Ez látható a 6.19.c) ábrán. A $P = S \cdot \cos\phi$ ábrázolás Ez formájában $P = U \cdot I \cdot \cos\phi$, ahol $U = U_1 \cdot \sin\phi$ és $I = I_m \cdot \sin\phi$.

$$S^2 = P^2 + Q^2$$

mivel $\sin^2\phi + \cos^2\phi = 1$, végéredményt írható:

$$P^2 + Q^2 = S^2 \cdot \cos^2\phi + S^2 \cdot \sin^2\phi = S^2 \cdot (\cos^2\phi + \sin^2\phi)$$

A keti összefüggését négyzetre emelve es összeadva:

$$P^2 + Q^2 = S^2 \cdot \cos^2\phi, \quad P = S \cdot \cos\phi, \quad Q = S \cdot \sin\phi$$

A $P = U \cdot I \cdot \cos\phi$, ahol $Q = U \cdot I \cdot \sin\phi$ es az $S = U \cdot I$ kifejezések összevételése alapján be- látható, hogy:

$$S = U \cdot I$$

A latszolagos teljesítmény mérteğysége a VA. A valtakozó áramú körökben extremezzük a latszolagos teljesítmény fogalmát is:

A meddő teljesítmény mérteğysége a var (volt amper reaktív).

$$\text{ez utóbbi behélyettesítésével: } Q = U \cdot I \cdot \sin\phi.$$

$$\text{A takarékosság es kondenzátor kapcsán extremezzük meddő teljesítményt is megfelező-$$

nyezének. Az elozö kifejezet teljesítményt hatásos teljesítménynek nevezzük es mérteğysége a watt. Az összefüggés alapján nevezzük a $\cos\phi$ -t teljesítményt- hajtjuk a 6.19.a) ábrához:

$$Q = U \cdot I_m \cdot I_m \cdot \sin\phi,$$

Ezután a teljesítményt meghatározni könnyű, ha a telthasználati kifejezett teljesítményt használva, a teljesítmény: $P = U \cdot I \cdot \cos\phi$.

Ezután a telthasználati kifejezett teljesítményt használva, a teljesítmény: $P = U \cdot I \cdot \cos\phi$.

A I_h összterelő az ábra szerinti: $I_h = I \cdot \cos\phi$.

$$A \text{ körfrekvencia: } \omega = 2\pi \cdot f = 2\pi \cdot 50 \text{ Hz} = 314 \frac{1}{\text{s}}$$

$$A \text{ periódusidő: } T = \frac{1}{f} = \frac{1}{50 \text{ Hz}} = 0,02 \text{ s} = 20 \text{ ms}.$$

I. Mekkora az 50 Hz-es hálózat periódusideje és körfrekvenciája?

Példák

6.9. Példák, feladatok

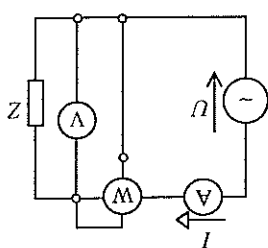
$$P = U \cdot I \cdot \cos \phi, \quad \cos \phi = \frac{U \cdot I}{P}.$$

$$S^2 = P^2 + Q^2, \quad Q = \sqrt{S^2 - P^2},$$

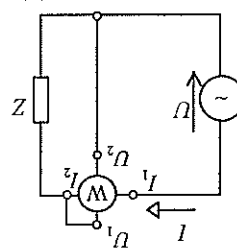
$$S = U \cdot I,$$

Ha a 6.21. ábra szerint kapcsolás alkalmazzuk, akkor a hatásos teljesítmény mellett a részszolgálos es meddő teljesítmény, valamint a teljesítményen vezető mérőszámokat is megállítja.

6.20. ábra. A teljesítménymérő
6.21. ábra. Felhasználásra szánt
készülékek csatlakozók



U_1, I_1 - felhasználásra szánt
készülékek csatlakozók



A teljesítménymérő négy kapocsat rendelkezik, ezek közül kettő az aram mérésére való és sorosan két az aramköröbe ikartani, mint az aramrösségmérőt. A másik két kapocs a felhasználásra szánt készülékekkel kapcsolatban kétel kapcsolni, mint a felhasználásra szánt készülékekkel.

A teljesítménymérő olyan műszerek, amely érzékelői a fogyaskötő felhasználásra számított teljesítményt az $U \cdot I \cdot \cos \phi$ szorzatnak megfelelően érzékelik, és a teljesítménymérőt a teljesítménytől függetlenül mérhetjük.

A hatásos teljesítményt ún. teljesítménymérővel mérhetjük.

A mérműszereknek alkalmassanak kell lenniük valátakozó mennyiségek méréseire.

2. Mekkora a 230 V effektív halozati feszültsége max. erték, az egy- és kettűtöltetű esetén?

A max. erték: $U_{max} = \sqrt{2} \cdot U = \sqrt{2} \cdot 230 V \approx 325 V$.

Az együttes körzépérték: $U_{k1} = \frac{U_{max}}{\pi} = \frac{325 V}{\pi} \approx 104 V$.

A kéttermű körzépérték: $U_{k2} = 2 \cdot \frac{U_{max}}{\pi} = 2 \cdot U_{k1} \approx 2 \cdot 104 V = 208 V$.

3. Egy 0,5 H induktivitású tekerceset a 230 V-os, 50 Hz-es halozatra kapcsolunk. Mekkora a tekerces induktívellenállása es makkora erőssége a rám fölött a tekercsben?

Az induktív ellenállás: $X_L = 2\pi \cdot f \cdot L = 2\pi \cdot 50 Hz \cdot 0,5 H = 157 \Omega$.

4. Mekkora kapacitású az a kondenzátor, amelyik 230 V-os, 50 Hz-es halozatot 50 mA erősséggel áramolt vezet?

Az áramerőssége: $I = \frac{U}{R} = \frac{230 V}{157 \Omega} = 1,46 A$.

A kondenzátor kapacitív ellenállása: $C = \frac{1}{2\pi \cdot f \cdot R} = \frac{1}{2\pi \cdot 50 Hz \cdot 4600 \Omega} = 4,6 \mu F$.

5. Egy egyfázisú motor a 230 V-os, 50 Hz-es halozatot 2,5 A erősséggel áramolt vezet fel, a motor fázisintenzitete 0,7, hatásfoka 75%.

Mekkora reakciójai telkecsés es ellenállás soros kapcsolásával helyettesíthető a motor?

Mekkora a gép által felvett feszültség a motorral párhuzamosan kapcsolni, hogy a leadott teljesítmény?

Mekkora kondenzátor körzeti frekvenciája?

6. Mekkora a halozat teljesítménye?

$$f_0 = \frac{1}{2\pi \cdot \sqrt{L \cdot C}}, C = \frac{1}{4\pi^2 \cdot f_0^2 \cdot L} = \frac{1}{4\pi^2 \cdot 50^2 \cdot Hz^2 \cdot 0,5 H} \approx 20 \mu F$$

A rezonanciahoz tartozó kapacitás:

feszültségek az áramkörök eleméin?

Köt elenállása 100 Ω, a tekercs induktivitása 0,5 H. Melykorai kapacitású kondenzátor van az áramkörben, ha ellenállásban rezonancia van? Mekkorán a rezonancia a számeregségek és a köt elenállásai között?

$$C = \frac{1}{2\pi \cdot f \cdot X_C} = \frac{1}{2\pi \cdot 50 Hz \cdot 128,9 \Omega} = 24,6 \cdot 10^{-6} F \approx 25 \mu F$$

A szűköséges kapacitás:

$$X_C = \frac{U}{I_C} = \frac{230 V}{1,785 A} = 128,9 \Omega$$

Bizzel a kapacitív ellenállás:

$$I_C = I_{RL} \cdot \sin \phi_{RL} = 2,5 A \cdot 0,714 = 1,785 A$$

ha $\phi = 0^\circ$. A szűköséges kondenzátor árama ekkor:

A 6.18.b) ábrából látható, hogy az energiatörőst terhelő áram akkor a legkisebb,

$$\eta = \frac{P_1}{P_2} \cdot 100, P_2 = \frac{P_1 \cdot \eta}{402,5 W \cdot 75 \% } = \frac{100}{100} \approx 302 W$$

A motor leadott teljesítménye a hatásfok alattalános értelmezésével:

$$Q = U \cdot I \cdot \sin \phi = S \cdot \sin \phi = 575 V \cdot A \cdot 0,714 \approx 410 \text{ var}$$

A meddő teljesítmény felvétel:

$$P = U \cdot I \cdot \cos \phi = S \cdot \cos \phi = 575 V \cdot A \cdot 0,7 = 402,5 W$$

A felehető hatsos teljesítmény:

$$S = U \cdot I = 230 V \cdot 2,5 A = 575 V \cdot A$$

A felehető hatszölags teljesítmény:

$$X_L = \sqrt{Z^2 - R^2} = \sqrt{92^2 - 64,4^2} \Omega = 65,7 \Omega$$

Kifejezve számíthatunk:

A soros kapcsolású tekercs induktív ellenállását a $Z = \sqrt{R^2 + X_L^2}$ összefüggéséből

$$R = Z \cdot \cos \phi = 92 \Omega \cdot 0,7 = 64,4 \Omega$$

A helyettesítő soros kapcsolás ellenállása:

$$A \text{ motor impedanciája: } Z = \frac{U}{I} = \frac{230 V}{2,5 A} = 92 \Omega$$

4. Mekkora annak a tekercsnek az induktivitása, amelynek az egyenárammal mérhető induktivitása 50 Ω és 100 V-os, 100 Hz-es energiájától 0,5 A-ig arányosan vész fel?

$$(0,366 \text{ H})$$

3. Mekkora annak az ideális tekercsnek az induktivitása, amely a 230 V-os, 50 Hz-es halozatnál 2 A erősséggel áramot vesz fel?

$$(3437,7 \text{ C})$$

2. Mennyi töltés halad át a vezető keresztmetszeten az 1,5 A max. ellenállásra, ha a műen egyenirányított szinuszos áram hatására egy hálózat?

$$(1,16 \text{ ms})$$

1. Egy szinuszos váltakozó feszültség periodusideje 10 ms, max. ellenállás 150 V. A periodus kezdetétől mennyi idő múlva lesz a feszültség pillanatai 100 V?

Feldatok

$$f_0 = \frac{2\pi \cdot \sqrt{LC}}{1} = \frac{2\pi \cdot \sqrt{5 \cdot 10^{-2} \text{ H} \cdot 5 \cdot 10^{-9} \text{ F}}}{1} \approx 10 \text{ kHz}$$

A rezonanciafrekvencia:

7. Egy párhuzamos kapcsolási RLC-körben levő tekercs induktivitása 50 mH, a kondenzátor kapacitása 5 nF. Mekkora a kör rezonanciafrekvencija?

tehet nagyobb, mint a halozati feszültsége!

$$U_C = U_L = I \cdot X_L = 2,3 \text{ A} \cdot 157 \Omega \approx 361 \text{ V},$$

A reaktanciák feszültségeisek:

$$X_C = X_L = 2\pi \cdot f_0 \cdot L = 2\pi \cdot 50 \text{ Hz} \cdot 0,5 \text{ H} \approx 157 \Omega.$$

A reaktanciák feszültségeinek meghatározásához szükséges van a reaktanciák ellenére:

$$U_R = U = 230 \text{ V}.$$

Az ellenállás feszültsége rezonanciai megegyezik a halozat feszültségevel:

$$I = \frac{U}{Z} = \frac{U}{R} = \frac{230 \text{ V}}{100 \Omega} = 2,3 \text{ A}.$$

Az árameregsége rezonanciai esetén:

Ellenorzó kerdesek

5. Egy 100 Ω-os ellenállású sorba kötünk egy 20 μF-os kondenzátort, amelyet két 230 V-ös, 50 Hz frekvenciájú hálózatra kapcsolunk.
- Mekkora lesz a kapcsolás impedanciája és fázisürengője?
- Mekkora a látszolagos, a hatásos és a meddő teljesítmény felvételé az áramkörme?
- Egy 230 V-ös, 50 Hz frekvenciájú, 2,5 A áramerősséggel, 0,7 fázisürengőjű es 75% hatásfokú motor mekkora induktív reaktancia és ellenállás parhuzamos kapcsolásaval helyettesíthető?
- Mekkora kapacitású kondenzátor parhuzamos kapcsolásaval javítható 0,9-re az áramkör fázisürengője és ekkor milyen erősségű áram terhelő a hálózatot?
- Egy 131,4 Ω; $X_L = 128,8 \Omega$; $C = 12,97 \mu F$; $I = 1,94 A$ ($Z = 188 \Omega$, $\cos \phi = 0,532$; $S = 281,4 \text{ V.A.}$; $P = 149,7 \text{ W}$; $Q = 238,3 \text{ var.}$)

1. Hogyan érlelmézzük a valtakozó feszültsége frekvenciáját, körfrekvenciáját?
2. Mi az effektív ertelek, az elektronikus középertelek, és hogyan számíthatnak szisztemában?
3. Milyen jelent a feszültség és áram közötti fáziseltolódás, mi a fázisszög érlelme-zései?
4. Milyen jellemző az ellenállás valtakozó feszültsége tafillás esetén?
5. Hogyan viselkedik egy kondenzátor valtakozó feszültsége hatásra?
6. Milyen érlelmékkel egy kondenzátor valtakozó feszültsége számítható?
7. Milyen fázisviszonyok jellemzik az ideális tekercset?
8. Hogyan érlelmézzük az induktív ellenállást, hogyan számítható?
9. Milyen impedancián es hogyan számítható soros, ill. párhuzamos aramko-
10. Mit értenek feszültsége-s aramrezonancian?
11. Hogyan érlelmézzük a hatásos, meddő és látszolagos teljesítményt?
12. Rölk esetén?

A tekeresek kezdőponjáit (U_1 , V_1 , W_1) a kerület minden 120° -ra vannak. (A tekereszek végeponjáit (U_2 , V_2 , W_2) jelelői.) Ez biztosítja, hogy a feszültségek közötti szögek megegyeznek a következő módon láthatók be. Az U_1-U_2 -es szögekben – minden az U fázisban – a $7.1.a)$ ábrán rajzolt pillanatban pozitív max. feszültség indulációkkal. A V fázis tekercsei 120° -os erőforrások után kerül az U fázis ábrázolatba. Ez a V fázis tekercsei 120° -os erőforrások után kerül az U fázis ábrázolatba. Ez a V fázis tekercsei 120° -os erőforrások után kerül az U fázis ábrázolatba. Ez a V fázis tekercsei 120° -os erőforrások után kerül az U fázis ábrázolatba. Ez a V fázis tekercsei 120° -os erőforrások után kerül az U fázis ábrázolatba. Ez a V fázis tekercsei 120° -os erőforrások után kerül az U fázis ábrázolatba.

Ha a $7.1.a)$ ábrának megfelelően magneseses terben húrom, egymáshoz képest jobbra forduló feszültség indulációkkal. A mu hárómázsist forgatunk állandó szögesésggel, akkor azokban szimmetrikus hárómázsist feszültség indulációkkal.

7.1. A szimmetrikus hárómázsist feszültség előállítása

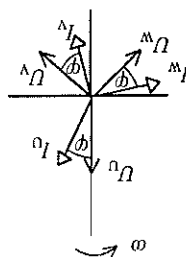
- hárómázsist rendszerekben lehet a leggazdaságosabban előállíthatni a villamos energiát,
- hárómázsist rendszereken nagyon nagy. Az ipari merítő villamosenergia-termelés az eloművekben és az energetikai kiüzárlág hárómázsist feszültségről működik. Ennek okai:
- hárómázsist rendszereken megy végbe. A logyasztró berendezések jelentős része is hárómázsist rendszereken megy végbe. A logyasztró berendezések jelentős része is van szükség, mint egyfázisú esetben, tehát az energia szállítása így gázdaságosabb,
- hárómázsist törvényszerű összességeben kisebb vezető-keresztmetszete,
- a hárómázsist motorok legegyszerűbb szerkezetük, így a leghibásodásból bak es a legolcsobbak.

7. HÁROMFÁZISI FESZÜLTSEGRÉNDSZER

Fázisokat összekapcsolják, ezzel csökkenteni lehet a vezetékek számát. Ha a harmónikus rendszer feszültségeit egy másik függeléknél akarunk a harmónikus feszültsékről kapcsolni, tul sok, összesen hat vezetőre lenne szükség. Ezért

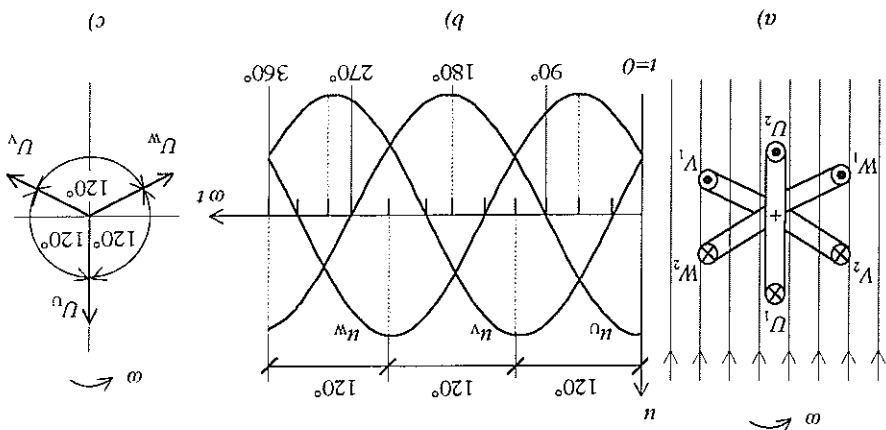
7.2. A harmónikus rendszer kapcsolásai

7.2. ábra. Szimmetrikus harmónikus feszültségek és áramok közötti fáziselvérés



A szimmetrikus harmónikus rendszer φ fáziseltolású feszültségei és áramai láthatók. Ertékelzett, a feszültségek és az áramokosság közötti φ fázisizzsögevel. A 7.2. ábrán egy harmónikus feszültséghez viszonyítva a φ fáziseltolású rendszer φ fáziseltolású feszültségei és áramai láthatók.

7.1. ábra. Szimmetrikus harmónikus feszültségek elosztása és ábrázolása



V fázis feszültsége 120°-ot késik az U fázis feszültségehez képest. Azonos gondolatmenet szerint látható be, hogy a W fázis feszültsége 120°-ot késik a V fázis feszültségehez viszonyítva. A kellekzés feszültségeket szemlélteti a 7.1.b) és c) ábra, az a) ábra helyzetet tekintve a t = 0 időpontban.

ebböl az általánosan érvényes összefüggés: $U_V = \sqrt{3} \cdot U_W$.

A kifejezés utolsó egysenlősége alapján: $\frac{U_W}{U_V} = \sqrt{3}$,

$$\sin 60^\circ = \frac{U_W}{2} = \frac{U_V}{2 \cdot \sqrt{3}} = \frac{\sqrt{3}}{2}.$$

összefüggés:

A vektorábrabol közvetlenül látható, hogy a vonali feszültség nagyobbra a fázisfeszültségenél. A 7.3.b) ábrában levő 60° -os derékszögű harmonikus feszültségből következik az

vegyületekkel kapcsolatos számítások. A 7.3.a) ábra szemlélteti, hogy a vonali feszültség a két fázisfeszültség különbségével meghatározható.

A vonali feszültséget vektoralakban kell képbeni, amit azt a 7.3.b) ábra szemlélteti.

Végsőpontjai közötti feszültségeket is jelentő.

- a fázisvezetők közötti U_V jelű vonali feszültséget, amely egyben a fázisok

pen a fázisok közötti U_V végsőpontja közötti feszültséget,

- a nulla- és fázisvezetők közötti U_{fel} fázisfeszültséget, amely tulajdonkép-

A kapcsolásban kétellel feszültségeket értelmezünk:

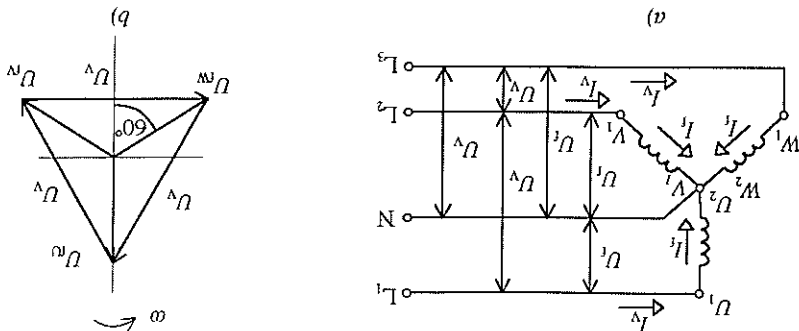
A fázisvezetők és a nulla vezető együttes száma miatt szokás négyvezetős rendszert használni.

A fázisvezetők és a nulla vezetők (régi jelzések R, S, T) fázisvezetőknek, az N jelzé-

szel a vezető nulla vezetőnek nevezik.

Az ábrához fűzött kivezetések száma hatrol négyre csökken. Az

7.3. ábra. Harmonikus feszültségkapsolás



A kapsolás az elhelyezését a szokásos ábrázolási mód után kaphat (7.3. ábra).

Zos pontot szokás csillagpontnak vagy nulla pontnak nevezni.

A kapsolás szabályai: a fázisok végsőpontjai (U_1, V_1, W_1) kelli összegkötői. Ezután kör-

Csillagkapsolás

A 7.3.b) ábrából az is látszik, hogy a vonali feszültségek 120°-os fáziseltolásban vánnak egymással, és nem azonos fázisúak a fázisfeszültségekkel. Igaz csillagkapcsolásban hat különböző fázisú feszültséget találunk.

Ha pl. egy világossztályú káplázat kapcsolásba kerül egy 3.400/230 V feszültsőt L₁-re, akkor ez a két fázis aránya 400 V, a vonali feszültség 230 V, a fázisfeszültség pedig 230 V. Es mindeközött a harmónikus telítésre merített feszültség 120°-os fáziseltolásban.

Csillagkapcsolásban a fázisok közötti feszültségeknek az I_{L1} , vonali arámon, amely a fáziseltolásban ilyik es az I_L , fázissáramot, melyet a fázis közötti vezetőkkel osztanak ki. A 7.3.a) ábrát tekintve belátható, hogy a két áram egyenlő: $I_L = I_f$.

Szimmetrikus feszültségekkel szemben a fázisfeszültségek és szimmetrikus terhelés esetén a fázisfeszültségek közötti körülforduló kapacitív telítés nélkül összeesik a harmónikus feszültségek szabályai: az egyik fázis vezetője minden időpillanatban nulla, ezért a nulla feszültségen átmenő áramnak a másik vezetőn átmenő áramhoz képest 180°-os fáziseltolásban áll.

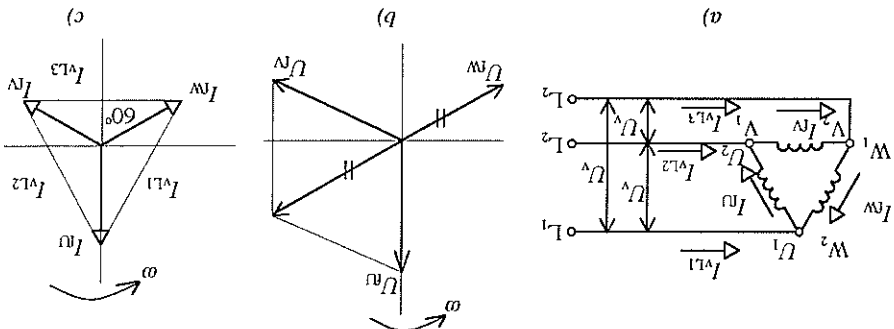
A harmónikus feszültségekkel szemben a harmónikus feszültségekkel összeesik a harmónikus vezetők szabályai.

Zártat mégsem keltezzük, mert a 7.4.b) ábra alapján belátható, hogy a fázisok feszültségeinek összege minden időpillanatban nulla.

A lehetőséges csatlakozási pontok száma három, így legfeljebb három csatlakozó vezeték szükséges.

A 7.4.a) ábrában bejelölt vonali feszültségekkel egyezően a fázisok közötti feszültségeket, ill. áramot. Delelta-kapcsolás esetén is értelemezhetők a vonali feszültségekkel egyenlő: $U_V = U_f$.

7.4. ábra. Harmónikus feszültségekkel való csatlakoztatás



A kapcsolás szabályai: az egyik fázis vezetője minden időpillanatban nulla, ezért a nulla feszültségen átmenő áramnak a másik vezetőn átmenő áramhoz képest 180°-os fáziseltolásban áll. Ezáltal egy zárt soros kapcsolashoz jutunk (7.4. ábra).

A harmónikus feszültségekkel szemben a harmónikus feszültségekkel összeesik a harmónikus vezetők szabályai: az egyik fázis vezetője minden időpillanatban nulla, ezért a nulla feszültségen átmenő áramnak a másik vezetőn átmenő áramhoz képest 180°-os fáziseltolásban áll.

A kapcsolás az elnevezését a szokásos ábrázolási alakjáról kapta.

Delta- (harmónikus-) kapcsolás

Nem fölyik áram.

Esetén a fázisfeszültségek közötti feszültségek és szimmetrikus terhelés esetén a harmónikus feszültségek közötti körülforduló kapacitív telítés nélkül összeesik a harmónikus feszültségek szabályai: az egyik fázis vezetője minden időpillanatban nulla, ezért a nulla feszültségen átmenő áramnak a másik vezetőn átmenő áramhoz képest 180°-os fáziseltolásban áll.

Csillagkapcsolásban a fázisok közötti feszültségeknek az I_{L1} , vonali arámon, amely a fáziseltolásban ilyik es az I_L , fázissáramot, melyet a fázis közötti vezetőkkel osztanak ki. A 7.3.a)

ábrát tekintve belátható, hogy a két áram egyenlő: $I_L = I_f$.

Ilyik es az I_L , fázissáramot, amely a fázis közötti vezetőkkel osztanak ki. A 7.3.a)

A harmónikus feszültségekkel szemben a harmónikus feszültségekkel összeesik a harmónikus vezetők szabályai: az egyik fázis vezetője minden időpillanatban nulla, ezért a nulla feszültségen átmenő áramnak a másik vezetőn átmenő áramhoz képest 180°-os fáziseltolásban áll.

A 7.3.b) ábrából az is látszik, hogy a vonali feszültségek 120°-os fáziseltolásban

Háromfázisú rendszer teljesítménye: $I_{L1} = I_u - I_w$.
 Ha körönkívül vektorosan, akkor feltüthető: $I_w + I_{L1} = I_u$.
 Kifejezve a vonali áramot: $I_{L1} = I_u - I_w$.
 A vektorok kvítonásának szabályára szerint a vonali I_{L1} áram a $7.4.c)$ ábrán feltüthető.
 Telthárolás fezélítésége mielőtt alkalmazott gondolatmenetet követve, általánosságban kapcsolás fezélítésége mielőtt alkalmazott gondolatmenetet követve, általánosságban telthárolás feltüthető. Az ábrában bejelölt 60° -os derékszögű háromszög alapján a csillag-tételről következik, hogy a vonali I_{L1} áram a $7.4.a)$ ábrán feltüthető.
 A háromfázisú rendszer esetében a fázisok teljesítményei egyenlök, így a háromfázisú teljesítménye: $P_{L1} = U_u \cdot I_u \cdot \cos \phi$.

Ezért behelyettesítve az egyenletbe:

$$P_{L1} = U_u \cdot I_u \cdot \cos \phi = \sqrt{3} \cdot U_u \cdot I_u \cdot \cos \phi.$$

Delela-kapcsolás esetén: $U_f = U_u$, $I_f = \frac{\sqrt{3}}{I_u} \cdot I_u$.

Ezért behelyettesítve az egyenletbe:

$$P_{L1} = \sqrt{3} \cdot U_u \cdot I_u \cdot \cos \phi = \sqrt{3} \cdot U_f \cdot I_f \cdot \cos \phi.$$

Csillagkapcsolás esetén az ismert összefüggésekkel:

$$U_f = \frac{\sqrt{3}}{U_u} \cdot U_u, \quad I_f = I_u.$$

Csillagkapcsolás esetén a vonali mennyiségekkel kifejezni, mert a fogyaszték, bemenetük a teljesítményt a vonali mennyiségekkel tüntetik fel.
 Delela-kapcsolás esetén a vonali mennyiségekkel tüntetik fel.
 Ezeket behelyettesítve az egyenletbe:

$$P_{L1} = \sqrt{3} \cdot U_f \cdot I_f \cdot \cos \phi.$$

A háromfázisú fogyasztó egy fázisának hatásos teljesítménye:

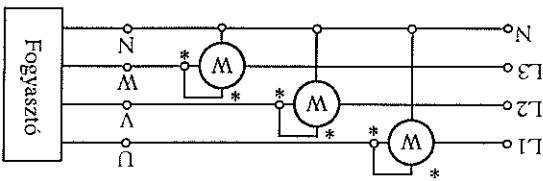
7.3. A háromfázisú rendszer teljesítménye

$I^v = \sqrt{3} \cdot I_f$.

Tehát a delela-kapcsolás áramait közötti összefüggés:

Kifejezve a vonali áramot: $I_{L1} = I_u - I_w$.
 A vektorok kvítonásának szabályára szerint a vonali I_{L1} áram a $7.4.c)$ ábrán feltüthető.
 Telthárolás fezélítésége mielőtt alkalmazott gondolatmenetet követve, általánosságban kapcsolás fezélítésége mielőtt alkalmazott gondolatmenetet követve, általánosságban telthárolás feltüthető. Az ábrában bejelölt 60° -os derékszögű háromszög alapján a csillag-tételről következik, hogy a vonali I_{L1} áram a $7.4.a)$ ábrán feltüthető.
 A háromfázisú rendszer teljesítménye: $P_{L1} = U_u \cdot I_u \cdot \cos \phi$.

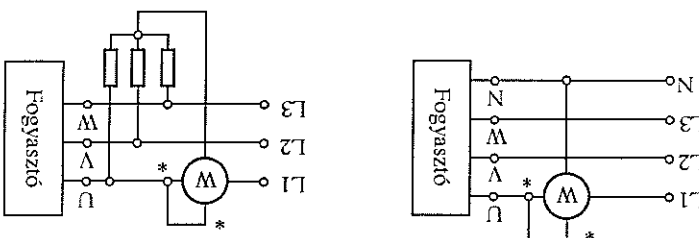
7.6. ábra. Teljesítmény mérése szimmetrikus, négyvezetékes harmofázisú rendszerekben



A teljesítménymérő aramkereszt az egyik fázissal sorba kell kötni. A feszültségek csillagpontjához kell csatlakoztatni a feszültségtelkeres műsik végét. A harmofázis rendszerek esetén minden harmónikát elérhetően a harmofázis rendszerek esetén az N jelű nullavezetőhöz kell csatlakoztatni. Ha-nagyvezetékes rendszerek esetén az L1-L2-L3 végével végezzük a mérést, a harmofázis rendszerek esetén az L1-L2-L3 végével végezzük a mérést. A harmofázis rendszerek esetén az L1-L2-L3 végével végezzük a mérést. A harmofázis rendszerek esetén az L1-L2-L3 végével végezzük a mérést.

7.5. ábra. Harmofázisú teljesítmény mérése egy teljesítménymérővel
a) négyvezetékes; b) harmofázis rendszerek esetén

(a)



A lehetséges kapcsolások vázlatai a 7.5. ábrán láthatók.

$$P = 3 \cdot P_{\text{faz}}.$$

Szimmetrikus feszültségi és terhelésű harmofázisú aramkör teljesítményét mérni lehet egy teljesítménymérővel, amely egy fázis teljesítményét adja. A teljesítményt meghatározó által mutatott érték harmozorosan lesz a harmofázisú teljesítmény:

7.4. A harmofázisú teljesítmény mérése

$$P = S \cdot \cos \phi, \quad Q = S \cdot \sin \phi, \quad S^2 = P^2 + Q^2.$$

Harmofázisú esetben is érvényesek a közvetkező összefüggések:

$$A látszólagos teljesítmény: \quad S = \sqrt{3} \cdot U^{\text{v}} \cdot I^{\text{v}}.$$

$$A meddő teljesítmény: \quad Q = \sqrt{3} \cdot U^{\text{v}} \cdot I^{\text{v}} \cdot \sin \phi.$$

mozognak.

Forgó mágneses tervről akkor beszélünk, ha a mágneses ter polusai közöttük között

7.5. Forgó mágneses ter

ban – a helytelen körönkívül mászer áramterekcsenek csatlakozását fel kell cserélni. Ha a mászereken nincs polaritásvaló-kapcsoló, akkor – feszültségmenetek állapot-

akkor a P_2 pozitív, ha ellenkező állásuk, akkor P_2 negatív. A két mászer helyes körönkívül esetén: ha a két polaritásvaló-kapcsoló azonos állású, annak általában minden pontjához valóba állítható ki. Ebből következik, hogy skálának nulla pontjához valóba állítható ki. Ha a mászeren van polaritásvaló-kapcsoló, akkor A kisebbik teljesítmény negatív eljelét úgy elszelje, hogy a mászer mutatása a mérték biztos megállapítása erdekeben célszerű két azonos típusú teljesítmény-

Az eljel bázisának negatív részét minden módban bekötünk a kapcsolásba.

ha $\cos \varphi < 0,5$, akkor $P_2 < 0$.

ha $\cos \varphi = 0,5$, akkor $P_2 = 0$;

ha $\cos \varphi > 0,5$, akkor $P_2 > 0$;

kör fázisrendszereinek függvényében:

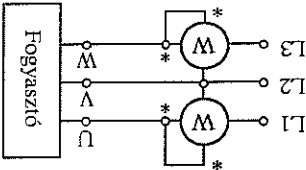
A kisebbik teljesítmény lehet pozitív és negatív eljelű, ill. nullagerékű is, az aram-

tott érték összegére: $P = P_1 + P_2$.

Bizonyítható, hogy a harmónikai teljesítmény a két teljesítménymerő által muta-

két teljesítménymerővel

7.7. Ábra. Harmónikai rendszer teljesítményének mérése



7.7. Ábra szemlélete.

Harmónikai rendszerek rendszerben a leggyakrabban az ún. két teljesítménymerő mod- szettel – más néven Aron-kapcsolással – mérlik a teljesítményt, ami egyaránt alkál- mazható szimmetrikus és aszimmetrikus rendszerekben. A mászer kapcsolási vázlata-

$$P = P_1 + P_2 + P_3.$$

műtató teljesítmények összegére adja a harmónikai teljesítményt:

Nagyvonzók aszimmetrikus rendszerek esetén minden fázis teljesítményét külön

A 7.8.a) es!) abra összervezetében megalapítatjuk, hogy a polusok most 45°-ot formálnak el, tehát fele akkorát, mint az egy poluspárti elrendezés esetén, amely a

menten 45°-ra vanakkal egyenlő. A fázisok közösségekkel megalapítatjuk, hogy a polusok közötti távolságban helyezkednek el és a fázisok tekercsöldalai félvállatba követhetőek. A fázisok közösségekkel a fázisok közötti távolságban helyezkednek el, amelyek sorakapcsolatban. A té-

A 7.8.b) es!) abra két poluspárti magneseses teret ábrázol a t_1 és t_2 időponthozan. A fa-

zisoknak ebben az esetben két részben állnak, amelyek sorakapcsolatban. A fázis-

sziszterekek között minden két részben állnak, amelyek sorakapcsolatban. A te-

mentes irányba fordultak el a magneseses polusok.

Se után ábrázolja a magneseses teret. Látható, hogy a 7.8.c) ábrához viszonyítva el-

végezhető félcserejük. A 7.8.g) abra a t_2 időponthozan, a V_1 és V_2 végük félcserejé-

A magneseses teret forgásirányával megvaltozik, ha valamelyik fázisnak fáziskezdetét - es

periódus alatt egy fordulatot tesznek meg a magneseses polusok.

Nevesített 180°-ot, azaz egy tel fordulatot tett meg. Ebből következik, hogy minden

esetben a ábrákon láthatók. A t_2 pillanatig egy tel fordulatnak számít le, ezáltal a mag-

A 7.8.d), t_3 és a t_4 pillanatok áramai által leterhelőt magneseses terék esetén csak a 7.8.d).

A 7.8.e) ábrában látható üranyhoz képest 45°-ot elfordult az oramutató járasával

egyelőre üranyba.

A 7.8.f) ábrában a két áram egynelő es pozitív. A 7.8.c) abra szemlélteti a leterhe-

A 7.8.g) ábrában a két áram egynelő es negatív. A 7.8.b) abra szemlélteti a leterhe-

a 7.8.b) ábrában.

A 7.8.h) ábrában a két áram egynelő es negatív, azaz a két áram között 90°-os faziseltolás van (7.8. abra).

Kettőfázisú tekercsek magneseses tengelyei merőlegesek egy másra, ill. a két fázis ára-

A 7.8.a) abran kettőfázisú áram időfüggvénye látható. A 7.8.b) abra kettőfázisú tekér-

cseket mutat. A pozitív áramnak a tekercsek közötti kapacitán (U₁ és V₁) a párhuzamos

ba befele fölyunk, a negatív áramnak a közötti kapacitán (U₂ és V₂) a párhuzamos

visszafolyik meg ugyanolyan időfüggvénnyel mint a két áram közötti magneseses teret!

A 7.8.c) ábrában kettőfázisú áram időfüggvénye látható. A 7.8.d) abra kettőfázisú tekér-

ma között 90°-os faziseltolás van (7.8. abra).

7.5.1. Kettőfázisú forgó magneseses ter

Forgó magneseses termek van jelentősége.

A gyakorlat számára a két- és háromfázisú tekercseseléssel, ill. árammal előállítható

• egyenel több fázisú, terben álló tekercseseléster kápcsoit többfázisú árammal.

• permanens vagy elektromagneses tengely körül mechatnikus forgatásával,

Forgó magneseses teret előállíthatunk:

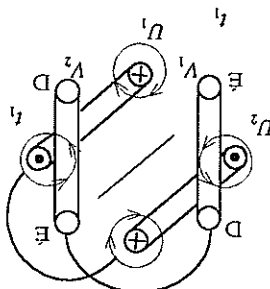
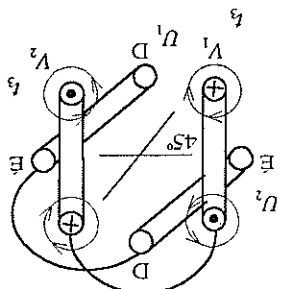
a percenkénti fordulatszám pedig: $n = 60 \cdot \frac{d}{f}$

A másodpercenkénti fordulatok száma: $n = \frac{d}{f}$

Az előző gondolatmenet alapján a mágneses ter Fordulatszámát is feltáthatjuk.

7.8. ábra. Kettőfázisú forgó mágneses ter

(a)

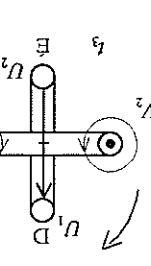
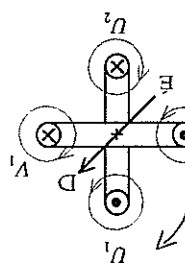
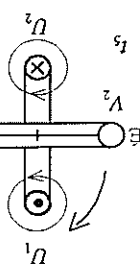
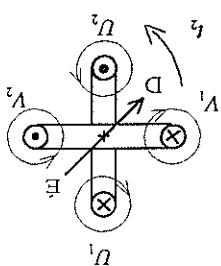


(c)

(d)

(e)

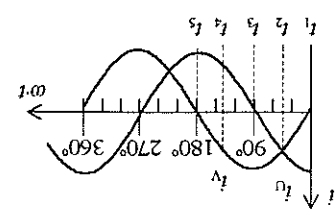
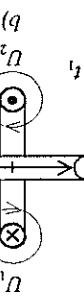
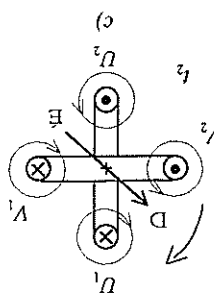
(f)



(g)

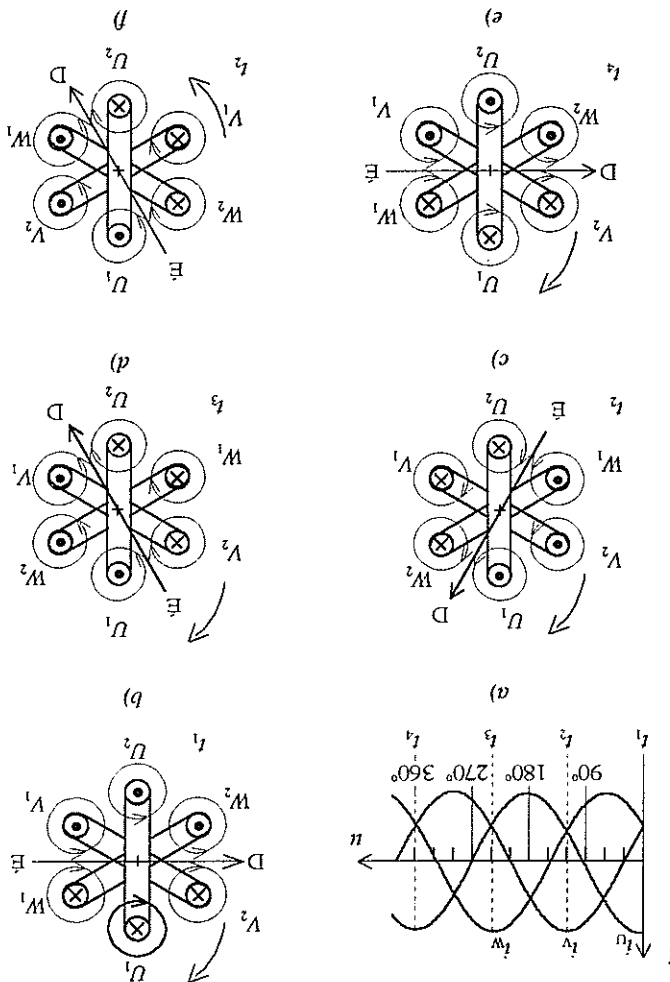
(h)

(i)



7.8.a) és d) ábrakból látható, hogy a polusok szögelfordulása azonos idő alatt, fordítottan arányos a poluspark számaval.

7.9. ábra. Harmonfázisú forgó mágneses ter



A 7.9. ábrán nyomon követhetjük a harmonfázisú forgó mágneses teret, a két fázis esetben alkalmazott módszerrel.

7.5.2. Harmonfázisú forgó mágneses ter

számnak is nevezni.

Az előző összefüggésekkel számított fordulatszámot szokás szinkronfordulat-

venciajaval és fordítottan arrányos a p polusával számaval.

A mágneses ter fordulatszáma tehát egyenesen arrányos a gerjesztő áram frek-

egyelők a vonali feszültségekkel:

A fázisellenállás a fázisfeszültsége és fázisáram ismeretében $Q_m = \frac{U_m}{R_m}$ vonalról következik.

$$I_f = \frac{U_f}{R_f} = \frac{\sqrt{3} \cdot U_f}{14,43 \text{ A}} = \frac{\sqrt{3}}{14,43} \cdot U_f = 8,33 \text{ A} .$$

A delta-kapcsolás fázisárama:

$$I_v = \frac{\sqrt{3} \cdot U_v \cdot \cos \varphi}{P} = \frac{\sqrt{3} \cdot 400 \text{ V} \cdot 1}{10000 \text{ W}} = 14,43 \text{ A} .$$

hogy ellenállás esetén a fázisszög nulla:

A vonali áramot a harmonikai teljesítményből számithatjuk, figyelembe véve,

Mekkora lesz a kemence teljesítménye csillagkapcsolásban?

Mekkora a kemence fázisokból elhelyezés?

Mekkora a kemence vonali feszültsége?

400 V, teljesítménye 10 kW.

1. Egy harmonikai feszültségű, delta-kapcsolású kemence vonali feszültsége

Peldák

7.6. Peldák, feladatok

A gyakorlatban a legtöbbször a harmonikai feszültségű mágneses terelőt alkozunk, mi-

vesz a villamosenergia-trendszert is harmonikai.

Csak a τ_2 pillanatra vonakozik – ellenetes üteműba fordulhatnak el a polusok.

Pont áramittányával, megfigyelhető, hogy a 7.9.c) ábrához képest – amely ugyan-

töztethető meg. A 7.9.f) ábrában a V és W fázis felcseréléseket láthatjuk, a τ_2 idő-

szakaszban a mágneses terelőkkel történő lebegés két fázis felcserélésevel val-

mot itt is az $n = \frac{f}{p}$, ill. az $n = 60 \cdot \frac{f}{p}$ osszefüggésekkel számithatjuk.

Polusátmérő szintén a két fázis esetében meghibásodás elővénnyel. A fordulatszám-

tesz meg a mágneses terelőkkel együtt minden fordulatot leterel. Több

el a mágneses polusok. Harmonikai feszültségű polusai minden fordulatot leterel.

Nagy 120°-onként következnek egymás után és láthatóan ezáltal 120°-os forduláink

d), e) ábra szerint a mágneses terelőkkel összhangban állnak a fázisok. A 7.9.a)

ábra említett pillékkel szemelleti a mágneses terelőkkel összhangban állnak a fázisok.

I. Egy harmonikus motor adatai: $U = 400 \text{ V}$, $I = 0,9 \text{ A}$, $\cos\phi = 0,7$, $P_2 = 0,37 \text{ kW}$ (Leadott teljesítmény). Mekkora a motor hatásfoka? (84,8%)

Feladatok

$$P_2 = \frac{P_1 \cdot \eta}{100} = \frac{8800 \text{ W} \cdot 85\%}{100} = 7480 \text{ W} \approx 7,5 \text{ kW}.$$

A leadott teljesítmény a hatásfok $\eta = \frac{P_2}{P_1} \cdot 100$ összefüggésére alapján:

$$Q = S \cdot \sin\phi = 10,4 \text{ kV} \cdot \text{A} \cdot 0,526 = 5,47 \text{ kvar.}$$

A felvett meddő teljesítmény:

$$S = \sqrt{3} \cdot U^{\wedge} \cdot I^{\wedge} = \sqrt{3} \cdot 400 \text{ V} \cdot 15 \text{ A} = 10392 \text{ V} \cdot \text{A} \approx 10,4 \text{ kV} \cdot \text{A}.$$

A felvett látszólagos teljesítmény:

$$\cos\phi = \frac{\sqrt{3} \cdot U^{\wedge} \cdot I^{\wedge}}{8800 \text{ W}} = \frac{\sqrt{3} \cdot 400 \text{ V} \cdot 15 \text{ A}}{8800 \text{ W}} \approx 0,85.$$

A teljesítménytényező a:

Mekkora a motor által felvett látszólagos és meddő teljesítmény, valamint a motor mechanikai teljesítménye?

Mekkora a motor teljesítménytényezője?

2. Egy harmonikus motor 400 V feszültségről 15 A ellenállásgátlárral 8800 W teljesítményt vesz fel. A motor hatásfoka 85%.

Ezzel a csillagkapcsolás fázisárama, amely egyenlő a vonali árammal:

$$P = \sqrt{3} \cdot U^{\wedge} \cdot I^{\wedge} \cdot \cos\phi = \sqrt{3} \cdot 400 \text{ V} \cdot 4,79 \text{ A} \cdot 1 = 3318 \text{ W} \approx 3,3 \text{ kW}.$$

A csillagkapcsolás teljesítménye:

$$I_f = I^{\wedge} = \frac{U^{\wedge}}{R^{\wedge}} = \frac{230 \text{ V}}{48 \Omega} = 4,79 \text{ A}.$$

Csillagkapcsolásban a fázisfeszültségek:

$$U_f = \frac{U^{\wedge}}{\sqrt{3}} = \frac{400 \text{ V}}{\sqrt{3}} \approx 230 \text{ V}.$$

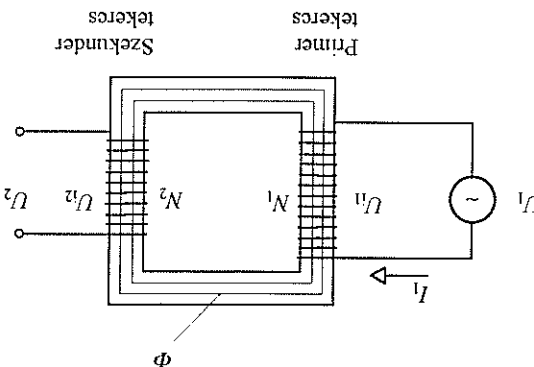
$$R_f = \frac{U_f}{I_f} = \frac{400 \text{ V}}{8,33 \text{ A}} = 48 \Omega.$$

2. Egy 400 V vonali feszültségről működő kemencce feszüsonkénti ellenállása 19,2 G. Mekkorá a ramerekesseggel terhelő kemencce a haladzatot csillag- és delta-kapcsolásban? Mekkorá a kétfele kapcsolásban?
1. Mi jellemzi a szimmetrikus háróműszí feszültségrendszerét?

Ellenirányú kerdesek

2. Mi a csillagkapcsolás szabálya, hogy vezeték csatlakozását tesszi lehetővé?
3. Mi a vonali, a fazisfeszültség és áram eredménye, mikor összefüggés van közöttük csillagkapcsolás esetén?
4. Hogyan kell a delta-kapcsolás kiállítani? Milyen összefüggés van közöttük és fazismenyisegek között?
5. Hogyan számítható a háróműszí fogyasztó hatásos, meddő és látszolagos teljesítménye?
6. Hogyan merhető a háróműszí teljesítmény?
7. Mit értünk forgó mágneses teren és hogyan állítható elő?
8. Hogyan számítható a mágneses ter formulájáma?
9. Milyen módszerrel változhatunk meg a háróműszí mágneses ter forgásirányája?

8.1. Ábra. A transzformátor működési elve



A transzformátor működési elve a kölcsönös indukció. A működést a 8.1. ábra alapján követhetjük, amely a transzformátor elvi felépítését mutatja.

8.1.1. Egyfázisú transzformátorok

A transzformátorok lehetségek egy- és háromfázisúak.

8.1. Transzformátorok

- **a motorok,** amelyek egyen- vagy váltakozó áramú villamos energiából me-
- **a generátorok,** amelyek mechanikai energiából egyen- vagy váltakozó áramú villamos energiát állítanak elő,
- **a transzformátorok,** amelyek a váltakozó feszültségek energiánek megváltotta-
- **lássára alkalmásak,** legfontosabb fajtái:
 - A villamos gépek energiaátalakítóik.

8. VILLAMOS GEPEK

• a tekercesek (primer és szekunder tekerces).

• a vasmag,

Mint a működési elvbeli leírásban, a transzformátoroknak két fő szerkezeti része van:

8.1.2. Az egységesi transzformátorok szerkezete

akkor közvetlenül látható, hogy a primerre kapcsolt feszültségeket elvileg testszögek eretkírte megváltoztathatjuk a menetszámok arányának alkalmas megválasztásával.

$$U_2 = \frac{N_2}{N_1} \cdot U_1 ,$$

Ez az egyenlőségben kiifejezzük az U_2 feszültséget:
Ha az elvileg feszültséget a transzformátor által elérhetőnek nevezzük,

A transzformátor primer és szekunder feszültségeinek aranya egyenlő a menet-zámk arányával.
Az egyenlőségben kiifejezzük az U_2 feszültséget:

$$\frac{U_2}{U_1} = \frac{N_2}{N_1} = a .$$

Legfeljebb összefüggését kapjuk:

Az elvileg feszültséget osztva a másodikkával és egyszerűsítve, a transzformátor egyik

$$U_2 = N_2 \cdot \frac{\Delta t}{\Phi} .$$

Nyitott szekunder kapcsoknál $U_2 = U_2$ -vel, ezért írható:

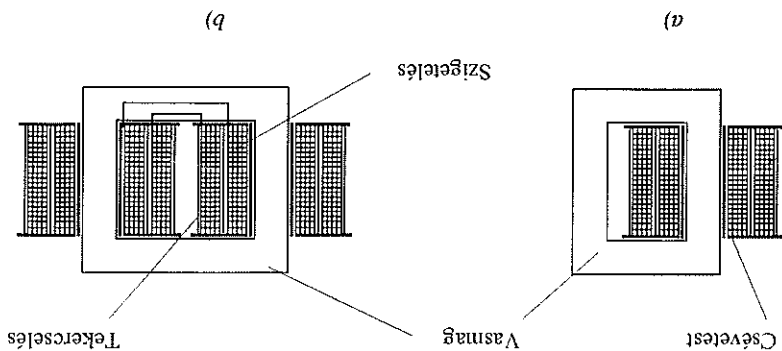
$$U_1 = N_1 \cdot \frac{\Delta t}{\Phi} .$$

A feszültségek viszonyát a Faraday-féle induktívitivitás szerint határozza meg. A primer tekercesre kapcsolt U_1 feszültsége – ideálisanak teljeszve fel a tekerceset – egyenlő a benne keletkező U_1 önmindikciós feszültséggel:

ugyanakkor a primer tekercesen is állmegy, és az önmindukció elvben is feszül-

tekerceszüllőt a szekunder tekercesen és benne U_2 feszültségek indukciók. A fluxus erősségű áram folyik, amely a vasmagban váltakozó fluxusot generál. Ez a fluxus helyezkednék el. A primer tekercesre kapcsolt U_1 , valaközö feszültsége hatására I_1 hagyományosan szerepel. Az áramban ez a feszültséget U_1 jelöl.

Az N_1 menetszámú primer és N_2 menetszámú szekunder tekercesek között vasmagon



A kisfeszítményű transzformátorok tekercseseléit előre gyártott cserecselére, rendezett sorokba, géppel tekerceslik. A tekercs vázlatos felépítése és elhelyezkedése a 8.3. ábrán látható, linc - és körbeny típusú transzformátor esetén.

Mutányagbázisú lakk. Az ilyen vezetőt szokás zománctárszígelelésű huzalnak is nevezni. A nagyfeszítményű, ún. olajstromszármányú vezetőt szokás legegyakrabban A tekercseselések anyaga elektrolit-rez. A tekercseselében szigetelésre leggyakrabban

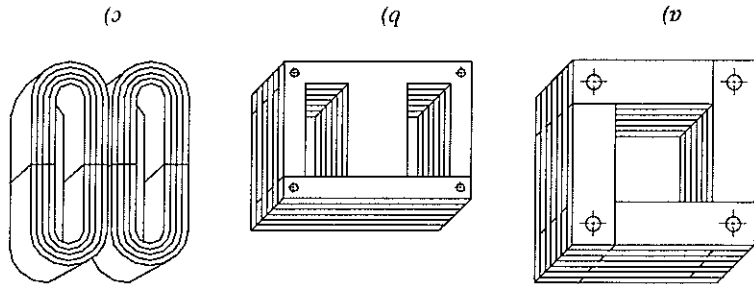
Az egyfázisú transzformátorok tekercseselése

A vasmag lemezét szigetelt szártú csavarokkal fogják össze, ill. a tekercselő vas-

mág részeit bilincsékkel rögzítik egymáshoz.

a) Lánccsém típusú; b) körbeny típusú; c) körbeny típusú, lemezbeli tekercselő

8.2. ábra. Egyfázisú transzformátorok jellegzetes vasmagjai



A vasmag szokásos alakjai a 8.2. ábrán láthatjuk.

Venyáramok csökkentése eredményben. A lemezek vastagsága 0,35–0,5 mm.

A transzformátorok vasmagja kis szentáralmú, 3–4% sziliciummal örvözött, egy-

masztol elszigetelt lágyvaslemezekből – in. transzformátorlemezekből – ill., az or-

A vasmag

A transzformátor terhelésétől függően a szekunder oldalon létrejövő váltakozó áram az I_2 amplitudójától függ. Az I_2 áram rezonanciafrekvenciánál $I_2 > 0$ amplitudóhoz köthető a szekunder oldalon létrejövő váltakozó áram. Azt, hogy a szekunder oldalon létrejövő váltakozó áramot melyik irányban vezetünk, a szekunder oldalon létrejövő váltakozó áramnak a szintje nem változik, csak a szekunder oldalon létrejövő váltakozó áramnak a szintje változik. Ezért a szekunder oldalon létrejövő váltakozó áramnak a szintje nem változik.

A transzformátorok terhelésének meghatározása

Ugyanolyan környezetben a szekunder terhelésre vonatkozóan a szekunder oldalon létrejövő váltakozó áramnak a szintje nem változik, csak a szekunder oldalon létrejövő váltakozó áramnak a szintje változik. Ezért a szekunder oldalon létrejövő váltakozó áramnak a szintje nem változik.

$$P_{10} \approx P_{\text{vak}} + P_{\text{vas}}$$

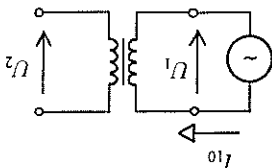
Mivel az irányára töröklik a szekunder terhelést, ezért a szekunder oldalon létrejövő váltakozó áramnak a szintje nem változik, csak a szekunder oldalon létrejövő váltakozó áramnak a szintje változik. Ezért a szekunder oldalon létrejövő váltakozó áramnak a szintje nem változik.

$$P_{10} = P_{\text{vak}} + P_{\text{vas}}$$

Nevetve a szekunder oldalon létrejövő váltakozó áramnak a szintje nem változik, csak a szekunder oldalon létrejövő váltakozó áramnak a szintje változik. Ezért a szekunder oldalon létrejövő váltakozó áramnak a szintje nem változik.

Ugyanolyan környezetben a szekunder oldalon létrejövő váltakozó áramnak a szintje nem változik, csak a szekunder oldalon létrejövő váltakozó áramnak a szintje változik. Ezért a szekunder oldalon létrejövő váltakozó áramnak a szintje nem változik.

8.4. ábra. A transzformátor irányára töröklik a szekunder oldalon létrejövő váltakozó áramnak a szintje.



Az 8.4. ábrán látható, hogy a szekunder oldalon létrejövő váltakozó áramnak a szintje nem változik, csak a szekunder oldalon létrejövő váltakozó áramnak a szintje változik. Ezért a szekunder oldalon létrejövő váltakozó áramnak a szintje nem változik.

A transzformátorok irányára töröklik a szekunder oldalon létrejövő váltakozó áramnak a szintje nem változik, csak a szekunder oldalon létrejövő váltakozó áramnak a szintje változik. Ezért a szekunder oldalon létrejövő váltakozó áramnak a szintje nem változik.

8.1.3. Az egyfázisú transzformátor üzemállapotai

A transzformátor U_2 szekunder kapocsfeszültsége a terhelés hatására – állandó pár-
mer feszültség mellett is – megtározik. A váltózás a transzformátor belső impé-
dancia okozza. A feszültségek változás, az irányárasai és névleges arámu terhelés kör-
zött (névleges áram: amire a transzformátor mértezik), ellennállás és induktív jel-
legű terhelés esetén néhány százalékcsökkenést jelezt. Kapacitív terhelés esetén
hasonló mértékű feszültségelemkédes jöhet létre.

Egy transzformátorban kételkész feszültsége nő az áramok növekedése miatt. A vasvezet-
mer és szekunder terkeresék vezetésége nő az áramok növekedése miatt. A vasvezet-
mer feszültsége a transzformátorban kételkész feszültsége megfelekszik. A pri-

$$\text{akkor } \text{a } \cos \varphi_1 \approx 1 \text{ jelezhető.}$$

Zolampakát vagy ellenállás-típusú hőfélélesztő feszültekkel lapítva a transzformátor, iz-
gatótól függ. Általában gáz, hogy terheléskor nagyobb, mint üreszásban. Ha pl. iz-
A terhelő transzformátor teljesítményezése – teljesítményezése – a terhelés jele-
aramereszeggel működnek, effogadható vezeték keresztmetszet alkalmazása mellett.
giantíteleben. A tölvenyszerű 100 KV nagyságrendű feszültségeken viszonylag kis
Ez a tölvenyszerűség indokolja a transzformátor jelenőségeit a nagy tavolságra ener-

giai többletüzemű rendszerekkel.

Egy meghatározott teljesítmény átvitelére a transzformátor árami fordítottan

$$\frac{U_2}{U_1} \approx \frac{I_1}{I_2}.$$

Atmenetve, a transzformátor fontos összefüggéseire jutunk:

a feszültségos teljesítmény értelmezése szerint: $U_1 \cdot I_1 = U_2 \cdot I_2$.

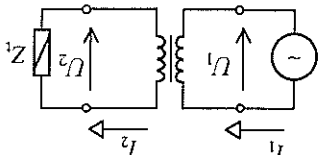
$$S_1 \approx S_2,$$

A visszacsatolt teljesítmény az energiamegmaradás elvben kör-

szímeny csak az áramereszeg növekedése miatt nőhet.

Először oldal teljesítmény-felvételle is megtározik. Ez csak úgy lehetséges, ha a
energiatartás teljesítmény-zolgálata fogyasztonak. Ez csak az energiamegmaradás elvben kör-
ájelensége az energiamegmaradás elvben körök között. A szekunder oldal min-

8.5. ábra. A transzformátor terhelési kapcsolási vázlata



I_1 áramfelvételle az I_2 terhelőárammal arányosan változik. Igaz a transzformátor fluxusváltózás, ami az $U_1 = U_1$ fennmaradásához szükseges. Igaz a transzformátor

A harmonikus frekvenciás hálózatok feszültségeinek változtatására harmonikus transzformátorral alkalmaznak.

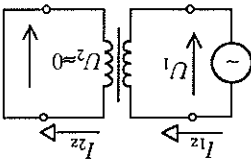
8.1.4. Harmonikus transzformátorok

A 8.6. ábra szerint is belátható, hogy rövidzárasban a szekunder körpontfeszültség $U_2 = 0$.

Ezért a transzformátorokat olvadóbóltoval vagy ilyen más védelmemel kell elállítani. Tekercsesvezetésekkel okoz, ami nagyon jólőről általánosan a transzformátor. Mivel a tekercsesvezetések az áram négyszögűvel arányos, a rövidzáras 100–900-szoros energiatartályú transzformátorral a rövidzáras áram 10–30-szorosa a névlegesnek.

Mivel a terhelőimpedancia nulla, a szekunder kör áramerőssége csak a tekercsek teljesítménye és a rövidzárho vezeték ellenállása következik. Ezért a transzformációhoz mindenenergia áramról lehetséges – mint minden energetikus zártakor – a névleges-tor rövidzáras áramerőssége – ez a rövidzárszámot, amelyet a szekunder kör áramerősségevel is.

8.6. ábra. A transzformátor terhelési kapcsolási vázlata



A rövidzáras vázlata a 8.6. ábrán látható.

Rövidzáras vázlata a transzformátorban a szekunder kör áramerőssége miatt a terhelőimpedáncia $Z_1 = 0$. Ezáltal a szekunder körben áramkör, azaz a terhelőimpedánzia nulla.

A transzformátor rövidzáras üzemállapota

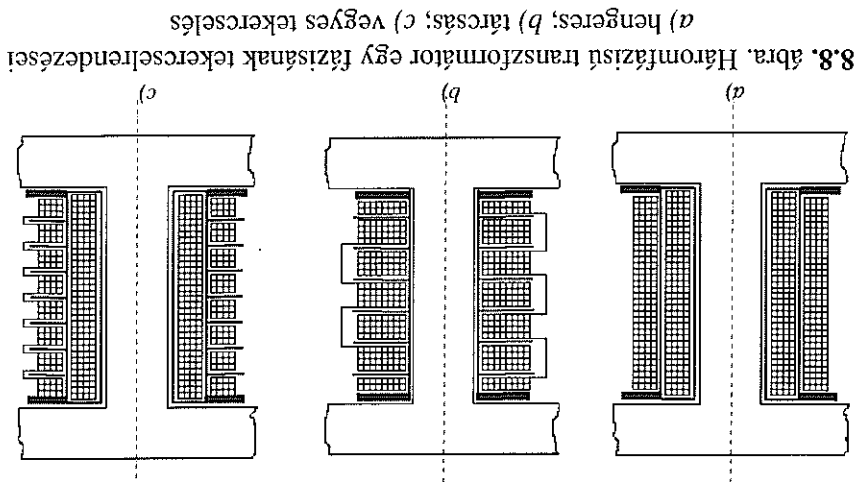
A hatásokat értéke a névleges teljesítménytől függően 70–99%. Az alsó határ az 1–10 VA nagyságrendekre, a felső határ az 1–10 MW A nagyságrendek felett jellemző.

$$\eta = \frac{P_2}{P_1} \cdot 100 = \frac{P_2 + P_{\text{Lek}}}{U_2 \cdot I_2 \cdot \cos \varphi_2} \cdot 100.$$

A transzformátor hatásfoka:

$$Az összes vezetésekre írható: $P_V = P_{V\text{as}} + P_{V\text{lek}} + P_{V\text{2lek}}$.$$

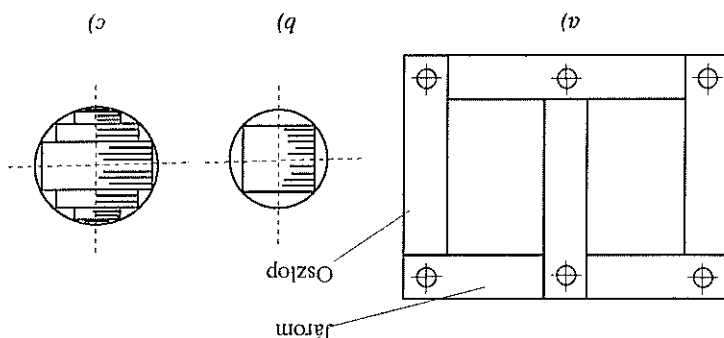
A számithájúk: $P_{\text{lek}} = I_2^2 \cdot R_{\text{lek}}$ és $P_{\text{2lek}} = I_2^2 \cdot R_{\text{2lek}}$. A tekercsesvezetések az áramrősségek és a tekercsek ellenállásai ismertebben számithájuk:



jobban kitöltsé a tekercsek belsjejét (8.7.c) ábra).

Formátoroknál néhány lemezszeléssel a körkeresztszeteit közelítik, hogy részmetszete kisebb teljesítmények esetén meggyezzen (8.7.b) ábra), nagyobb transz-
ra, hogy az egymásra kerülő rétegek átlapjaiak az illesztések. Az oszlopok ke-
részmegekkel elszigetelt lemezekből építik fel, úgyelve arra,
A vasmagot téglalap alakú, egy második elszigetelt lemezekből építik fel, úgyelve arra,
az oszlopokon helyezkednek el a tekercsek, általában egy oszlopon az egy fázis-
ún, zegzug kapcsolás esetén.

8.7. ábra. A harmoniafázisú transzformátor vasmagja



A 8.7. ábrán a leggyakrabban előforduló vasmagállapot láthatjuk, amelyet harmonia-
oszlopos, kétbalkos vasmagnak szokás nevezni. Az oszlopokat összekötő vasszisz-
tékben a leggyakrabban előforduló vasmagállapotot láthatjuk, amelyet harmo-

A harmoniafázisú transzformátor szerkezete

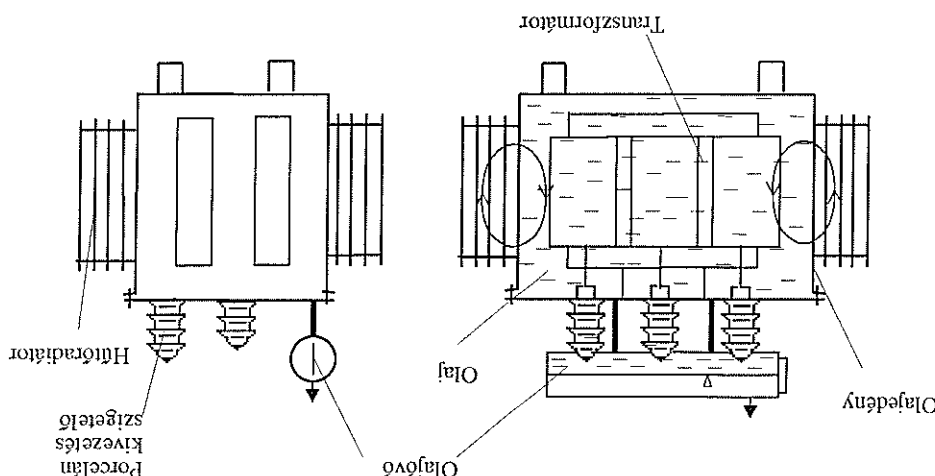
a jármű.

- olajszivó vagy konzervátor: csövön keresztül az edény legmagasabb pontjával oljatárolókhoz vezető vezetékkel összekötött, olajszivó felelős teljes tartalym. Kéndeleteise: tagulódehelyként funkcióval
- olajszivó vagy konzervátor: a teljes hőenergiát tartalmazza, hogy a radiatoron keresztül az edény hőtermelését lehűthesse.

• transzformátorolás: nagyfeszültségű ásványolás. Az olaj feladata a szigetelés és a hűtés,

Az olajtranszformátor fő részei:

8.9. ábra. Olajtranszformátor vázlatá



Az olajtranszformátor vázlatos felépítését a 8.9. ábra szemlélteti.

A száraztranszformátoroknál megtérülhetőbb teljesítmény - és feszültséghatár felélt hűtő-szigetelési rendszerek jelentkeznek. Ilyenkor a transzformátor olajba merülve üzemeltek. A száraztranszformátoroknál megtérülhetőbb teljesítmény - és feszültséghatár felélt hűtő-szigetelési rendszerek jelentkeznek. Ilyenkor a transzformátor olajba merülve üzemeltek.

Ilyen kivitelben kb. 50 kVA teljesítménnyig és 10 kV feszültségeig belterti üzemelte-téserre készítenek száraztranszformátorokat.

A száraztranszformátor levegő veszi körül, amely a transzformátor termeszeteit vagy mesterséges aramalásval hűti.

Olajtranszformátorok

A 8.8. ábrán hárrom jellemezettséget mutatnak egy-egy résziszerkezetek.

Tekercselés

Anyaga egyező az egyfázisú transzformátorral leírhatók.

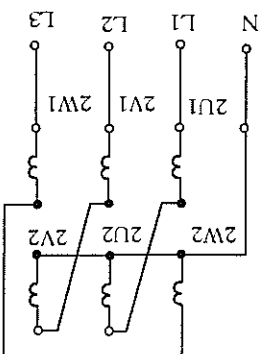
Egy transzformátoron belül különöző lehet a primer, ill. a szekunder tekercesek kapcsolása. A kapcsolások szerkezete a következők:

- a) csillagkapcsolás;
- b) csillágkapcsolás nullavezetővel;
- c) delta-kapcsolás;
- d) zérgzög kapcsolás.

A harmfázisú transzformátorok kapcsolásai

- 8.10. ábra. Harmfázisú transzformátor kapcsolásai

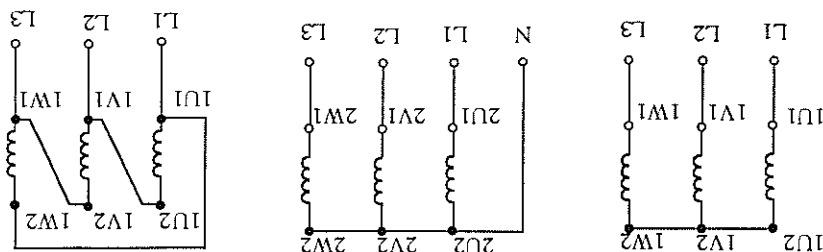
(d)



(a)

(b)

(c)



A harmfázisú transzformátor minden fazisában az egyfázisú transzformátorral megegyező jelenségek zajlanak, egyptaszor később 120° -os faziseltolásban. A működési viszonyok vizsgálatakor így elégendo egyetlen fazist tekinteni.

Kodolni a harmfázisú transzformátorban az időjárás viszontagságokról.

A harmfázisú transzformátorok működése

megvédí a transzformátort az időjárás viszontagságokról.

Az olajtranszformátorok szabadtérben is működhetnek, mert a vizesítő szerekkel

Csillagkapszolás Jelzései: X vagy Y , kivételettel csillagpont esetén Y^0 vagy Y^0 (ejtsd: Y null). A csillag- pontot általában csak a szekunder oldalon szokás kivizetni, amikor a transzformátor negegyvezetékes hálózatot taplál. Zerzúg kápcsoolás Jelzései: D vagy d . Det-ha-kápcsoolás Jelzései: Z vagy z . Zerzúg kápcsoolás A zerzúg kápcsoolás lenyegében egy speciális csillagkápcsoolás, amelyet szintre két mindeneket tekercseszék között minden osztlopban két egyforma tekercsre osztva készítünk. A szekunder tekercseszék minden osztlopban két tekercsvelket az aránytartalomhoz közelítően. A vassziszteség ilyen jó közeli közelítéssel az irányjárás teljesítménye felvétellel azonos. A tekercseszésekkel az aránytartalomhoz közelítően a hatásfokat számítjuk.

A harmóniai transzformátor vezetései az hatszövek: $P_{12k} = 3 \cdot I_{11} \cdot R_{11}$ és $Z_{12k} = 3 \cdot I_{21} \cdot R_{21}$. A harmóniai transzformátor hatszövek: $P_{12k} = 3 \cdot I_{11} \cdot R_{11} \cdot Z_{12k} = 3 \cdot I_{21} \cdot R_{21} \cdot Z_{12k}$. A hatszövek a terhelés fizikai paramétereitől is. Ha kis cosφ₂ mellett terheljük a transzformátort, akkor viszonylag kiisebb lesz a hatszövek. Ezért is indokolt a primér tekercsen készülnek egy megszapolás, akkor a telkercs esetén egyik vége is a mege- csapolás között az önmindukciós feszültségeknek a közrefogott mennyiségű árammal arányos.

8.1.5. Takarékkápcsolású transzformátor

6.6.7. Pontban említett fizisztikai a szekunder oldalon.

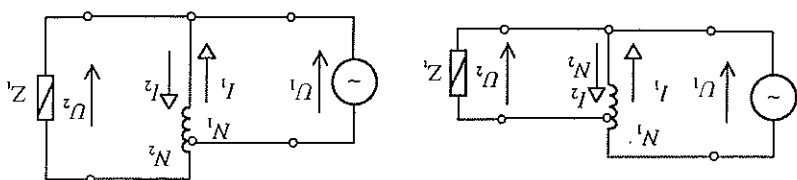
A hatszövek tehát függ a terhelés fizikai paramétereitől is. Ha kis cosφ₂ mellett terheljük a transzformátort, akkor viszonylag kiisebb lesz a hatszövek. Ezért is indokolt a primér tekercsen készülnek egy megszapolás, akkor a telkercs esetén egyik vége is a mege-

$$\eta = \frac{P_2}{P_1} \cdot 100 = \frac{P_2 + P_V}{\sqrt{3} \cdot U_2 \cdot I_2} \cdot 100 = \frac{\sqrt{3} \cdot U_2 \cdot I_2 \cdot \cos \varphi_2 + P_V}{\sqrt{3} \cdot U_2 \cdot I_2} \cdot 100 = \frac{\cos \varphi_2}{\sqrt{3} \cdot U_2 \cdot I_2} \cdot 100 .$$

a) feszültségecsőkben; b) feszültségnövelék kapcsolás
8.12. ábra. A takarékkapcsolású transzformátor kapcsolási vázlatai

b)

a)



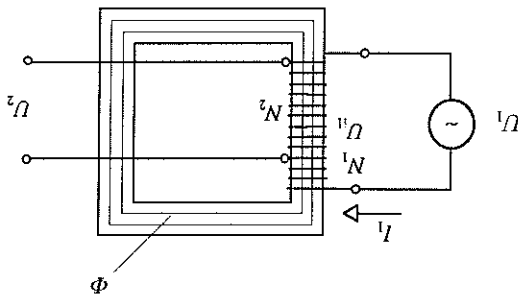
nyebb, kisebb helyigényű transzformátor eredményez.
transzformátor, azonos teljesítmény esetén. Az anyagmegtakarítás oly索b, körny-
het (ennek különbsége a nem trifázisú), mint a két különálló tekercsesel bőrő
A tekercsesi anyag megtekercsítés a vasmag és kevesebb anyagból készül-
szíhető.

A két áram különbsége lehet méretezni, azaz kisebb keresztmetszeti vezetőből ke-
szíhető. A tekercsesban a primer és szekunder áram különbsége folyik. Ezért ez a tekercsesi
kapcsolásban mindenkorral látható, hogy a kozós tekercs részén mindenki
jelöl feszültsége - az arányainyokból látható, hogy a kozós tekercs részén mindenki
ábra a feszültségecsőkben, a b) példig a feszültségnövelé-megoldást mutatja. A be-
szemben mindenkorral feszültségeket.

Nem csak feszültsége csökkenésére, hanem növelésére is alkalmas ez a megoldás.
Ha a kisebb mennyiségű tekercs részét röplájjuk, a létrejövő változó fluxus a teljes
A takarékkapcsolású transzformátor is eredményes a feszültségek arányára vonatko-
zó összefüggés, miszerint: $\frac{U_2}{U_1} = \frac{N_2}{N_1} = a$.

8.12. ábra a takarékkapcsolású transzformátor arányai vázlatai láthatók. A 8.12.a)
tekercesben indirekt feszültségeket.

8.11. ábra. Takarékkapcsolású transzformátor működési elve



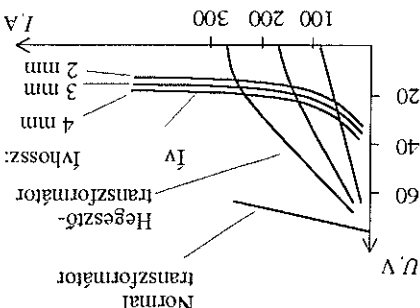
takarékkapcsolásnak (8.11. ábra).

Primer és szekunder tekercse. Az ilyen eleven működő transzformátorokat nevezzük
feszített kapcsolásnak. Igy egy olyan transzformátorhoz jutunk, amelyiknek nincs külön
primér és szekunder tekercse. Az ilyen eleven működő transzformátorokat nevezzük

A transzformátor feszültsége esetén a nagy szörfi reaktanicián ion letere. A nagy szörfi reaktanicián hatásra a terhelőáram szörfi mágneses fluxus okozza. A transzformátor feszültsége esetén a terhelőáram hatásra a nagy szörfi reaktanicián hellyel erdekeben a transzformátor szörföpöt is kialakítanak. A hegesztőáram valtoztatása szörfi fluxus növelése erdekeben a primer és szekunder tekercséket külön szörföpon lejön. A nagy szörfi reaktanicián a megnovelőt szörfi mágneses fluxusokozza. A transzformátor feszültsége esetén a terhelőáram hatásra a nagy szörfi reaktanicián

lejön. A nagy szörfi reaktanicián a terhelőáram hatásra a 20–25 V-ra csökken. A világos ivygyűjtőszaboz kb. 60–70 V es a terhelés hatásra 20–25 V-ra csökken. A hyperbolajellegű. Az ivy feszültsége-áram jelleggörbje a 8.13. ábrán látható, amely 20–25 V-ig. Ez ív feszültsége-szüksége, míg fennmarásához

8.13. ábra. A világos ivy feszültségtanszformátor jellegréte



A világos ivy ionizált gázokban, elosztóban levégben folyó áram, amely több ezer °C hőmérsékletet eredményez. Igy alkalmas fémek helyi megolvásztásra és összhegesztésre.

8.1.6. Ivhégesztő transzformátorok

A takarékkapcsolású transzformátor ott alkalmazható, ahol a felisorolt hárányoknak unics jeletlősegé. Alkalmazzák, pl. motorok indításával, mereveskkel ún. toroid transzformátoroknál. A takarékkapcsolású transzformátor ott alkalmazható, ahol a felisorolt hárányoknak unics jeletlősegé. Alkalmazzák, pl. motorok indításával, mereveskkel ún. toroid transzformátoroknál. Igy a zárlati áram nagyobb, mint a külön tekercsékel készült transzformátoron. További hárány, hogy szekunder oldali zárlat esetén a közös tekercsrezs kikötődik az aramkörböl. Igy a zárlati áram nagyobb, mint a külön tekercsékel készült transzformátoron. Ilyen szekunder oldali zárlat esetén a közös tekercsrezs kikötődik az aramkörböl. Igy a zárlati áram nagyobb, mint a külön tekercsékel készült transzformátoron. Ezért a primér és szekunder oldal között nem alkalmazható (pl. csehű-transzformátoroknál), továbbá a transzformátoroknál, amelyeket előállító ún. bázisnagyi transzformátoroknál (stb.).

A szinkrongépek fölérkezeti egységei az állórész és a forgórész. A hálózat körülbelül 1000 MVA teljesítményű gyártóüzemben a legnagyobb üzemelő gép 440 MVA teljesítményű. Az állórész legerőntosabb alkotórészemei a hálózat, a vezeték és a tekercslesek. A hálózat körülbelül 1000 MVA teljesítményű gyártóüzemben a legnagyobb üzemelő gép 440 MVA teljesítményű. A szinkronizációkat néhány KVA-tól 1000 MVA nagyságrendig készítnek. Maguknak megfelelően minden résznek megfelelően kialakították a hálózatot. A szinkronizátorok működési elve a mozgású indukció, amelyet úgy valósítanak meg, hogy minden álló tekercsek közöttben mágneses terhek között forrásnak működjenek, először a hálózatban, majd a szinkronizátorban. Ezáltal minden résznek megfelelően kialakították a hálózatot.

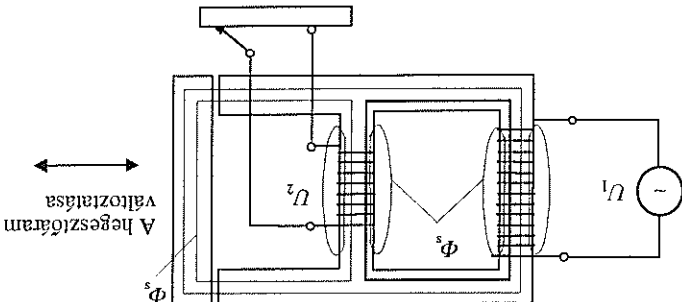
8.2.1. Szinkrongenerátorok

A szinkronenergia-termelés kizárolagasan szinkronizátorokkal történik. A gyakorlat számára igen nagy jelentőséggel bíró generátorok, mert az ipari műterületekben a szinkronizátorok által elérhető teljesítmény több millió kW-nál is lehet. A szinkronizátorok szintén gyakran használják a szinkronizátorokkal történik. A szinkronizátorokban minden résznek megfelelően kialakították a hálózatot. A szinkronizátorokban minden résznek megfelelően kialakították a hálózatot. A szinkronizátorokban minden résznek megfelelően kialakították a hálózatot.

8.2. Szinkrongépek

A szinkronizátorok - generátorok - olyan váltakozó áramú villamos források, amelyeknek az által - és forgórezsében létrejött mágneses terkek közötti áramú váltakozó árammal együttesen mozognak, szinkronban vannak. (A szinkron forgórezséget jelenti.)

8.14. ábra. A hengesztruktúrás formátor elvi felépítése



lakoznak.

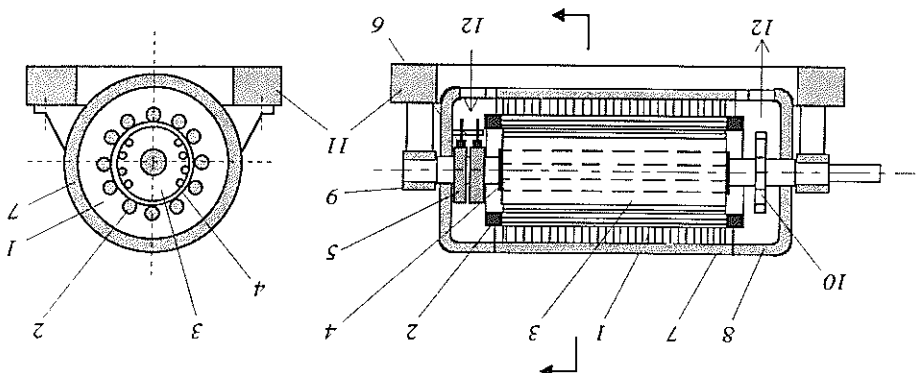
A tengelyen elhelyezkedő acélkosszótira szerelek fel a polüsök, amelyek torzsen helyezkednek a gerjesztőtekercsek. A polüsök tekercsei általában sorba kapcsol- jak ügy, hogy a polüsök polaritása változva eszaki-déli legyen. A galusparok száma legálább harom. A gerjesztőtekercsek kivételesei itt is csiszolgyűrűkhoz csat- A kiálló polüsök forgóréssz elvi vázlata a 8.16. ábrán látható.

16. ábrán látható.
A gerjesztőtekercs két végén a tengelyre szerelt tin. csiszolgyűrűkhöz csatlako- rendszerint reztralmut - széntefek, amelyeken keresztül vezetik be a gerjesz- gő erintkezök. Ósszeszereltséppel a csiszolgyűrűk palástjára csatlakoznak a - zik. A csiszolgyűrűk együttes részletben elszigetelt, bőrnyelk készül mű- A gerjesztőtekercs két végén a tengelyre szerelt tin. csiszolgyűrűkhöz csatlako-

11. gépálap; 12 hútfelüvegő be- és kihúpzás

5 csiszolgyűrű; 6 széntefek; 7 állórész-ekre cselés; 8 paszs; 9 baksasplágy; 10 szellőzöök lapátkerék;

8.15. ábra. Zsinkrongép vázlatos szerkezete



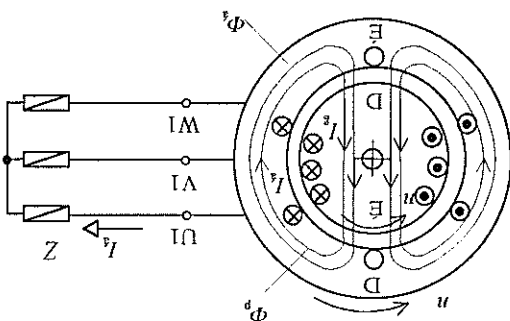
A hengeres forgórésszű gép vázlatos szerkezete látható a 8.15. ábrán.

A vasmag cső alakkú, egymástról elszigetelt, ún. dinamolémézből készül. (A dinamolémek 2–3% szilikiummal örvözött, 0,35–0,5 mm vastag lágyvás lemez.) A vas- gyökből építkező szálas nagyságrendű is lehet. A homyokba kerül a tekercselés. A tekercselés szigetelő részleteket elektromágneses. Alakja szerint lehet hengeres formában vagy szigetelő részletben készül. A hengeres forgóréssz vasmagja henger alakkú, közepes teljesítményig lemezelt, réses kiálló polüsök.

A hengeres forgóréssz vasmagja henger alakkú, közepes teljesítményig lemezelt, széntefekkel örvözött homyokban helyezik el a gerjesztőtekercseket, amely szigetelt részletben készül.

Mivel a halozat frekvenciájának állandó erősségűnek (50 Hz) kell lenni, ezért a generátor állandó fordulatszámú kell forgatni. Ez a fordulatszámot szink-

8.17. ábra. A szinkrongenerátor működési elve



Az indukált feszültségek egyenesen arányos a polusfluxus értékhez és a for-

adott gépre jellemző állandó.

(Az összefüggés a mozgási indukció $U_i = B \cdot l \cdot v$ kifejezéséből származik, a c egy-

gep n fordulatszámával: $U_i = c \cdot \Phi \cdot n$.

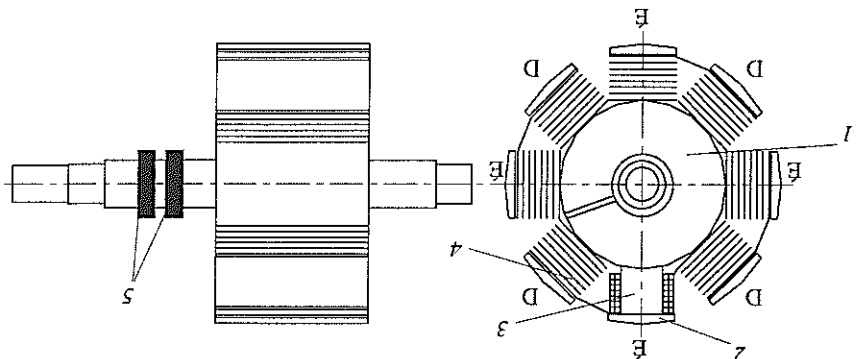
az összefüggés kelekezik, amely egyenesen arányos a polusok Φ fluxusával és a mozgási indukció elvén az alábbiaknak köszönhetően harmonikusan váltakozik. A mozgási indukció - pl. gáz - vagy vízturbina által - a forgórészről fordulatszámmal meghatályuk, - a géppel - pl. gáz - vagy vízturbina által - a forgórészről fordulatszámra tekintetben szintén váltakozik, és ha valamilyen erő-

A szinkrongenerátor működésének vizsgálatahoz tekintünk meg a 8.17. ábrát.

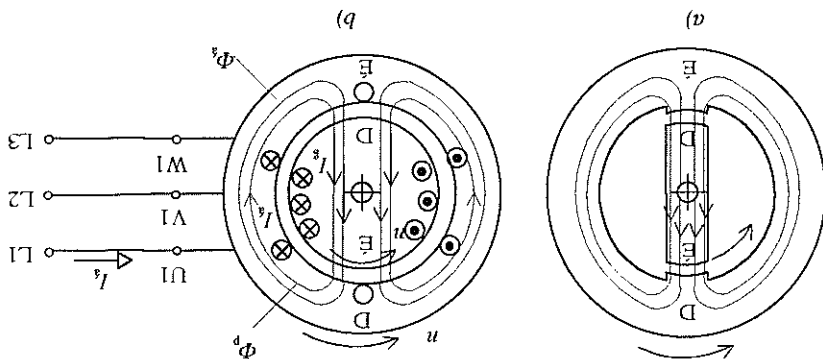
A harmonikai szinkrongenerátor működése

1. forgóreszszkuszor; 2. polussarit; 3. polusiriz; 4. gerjesztőtekercs; 5. csiszológyűrű;

8.16. ábra. Szinkrongép kialló polusai forgóreszének változata



a) működési modell; b) valóságos elrendezés vázlata
8.18. ábra. A szinkronmotor működési elve



A 8.18.a) ábra a valóságos gép vázlatát szemlélteti. Az állórész tekercseire kapcsolt hármonikus árammal hozzájuk érte a forgó mágneses teret, amelynek polusai vonzhatását fejezik ki a gerjesztett forgóreszellenetek pólusai, és így jön létre a motor forgása. A gerjesztő árammal hozzájuk érte a forgó mágneses teret, amelynek polusai vonzhatását teszteléges két fázis felcserélésevel lehet megvaltoztatni.

A 8.18.b) ábra a valóságos gép vázlatát szemlélteti. Az állórész tekercseire kapcsolt hármonikus árammal hozzájuk érte a forgó mágneses teret, amelynek polusai vonzhatását teszteléges két fázis felcserélésevel lehet megvaltoztatni. Ez az elrendezés a szinkronmotor működési modellje.

A 8.18.a) ábra két permnén mágneset mutat. A két mágnes csapágyazásával teljesítőként működik. Ha a különböző mágneset elforgatjuk, akkor a belső mágnes szemben helyezett vészszál fel. A mágnesek az ellenetes polusai között vonzhatás mutat az ábra alapján. A szinkronmotorok működési elve (8.18. ábra) a mágneses polusuk kölcsönhatá-

A szinkronmotor működése

A szinkronmotorok szerezetet meggyezik a generátorokéval.

8.2.2. Szinkronmotorok

Terheleskör a generátor állórész-tekercesében hármonikus áram folyik, amely forgó mágneses teret létesít (Φ_f). A Φ_f fluxus a forgóreszellenáron, azaz a generátor számában működik. Íme a szinkronmotor elnevezése.

$$n = \frac{f}{f_1} \quad \text{és} \quad n = 60 \cdot \frac{f}{f_1} \quad \text{min}^{-1}$$

fordulatszámnak nevezzük és a fordulatszám ismert kifejezéséből számíthatunk ki:

fordulatszámnak nevezzük és a fordulatszám ismert kifejezéséből számíthatunk ki:

szemmelétei.

A motor tekercesét a kivézetéseskenél kell – az adattabátorral leolvasztó módon – csillagba vagy déltába kapcsolni, a gyári lag mekkal összefoglaltsámkével. A kapcsolatba jellemezettségeket és a kivézetések összekötését a 8.19. ábra

gyakorlatban mindenek általános minta hat végett kivézik a kapcsolatba.

A hármonizási tekercsesnek általában minden hat végett kivézik a szinkronizálásra. Az alacsony frekvenciákban a szinkronizálásra alkalmi ütemben, nagyobb

görbekezelő motortípus, ill. hengeszterrel kezeli.

A hármonizási szinkronmotorok szerkezete

8.3.1. Hármonizási szinkronmotorok

A szinkronmotorokat 1 MW-tól 1 MW teljesítmény-nagysságrendig készítenek.

A gyakorlat számára a motorok a jelentősébők. A működő motorok legnagyobb vektorú szemeljűsége, kis karbantartási igény és a viszonylagos olcsóság.

Íme néhány példa a szinkronmotorokról. Egyesek csak az egyszerű szerkezet, az egyéb környezeti tényezőkkel szembeni védelmet nyújtva.

A szinkronmotoroknak a működésükhez a generátoroknak a szinkronizációval kell szembenézni.

Az alacsonyfrekvenciájú szinkronmotoroknak a működésükhez a szinkronizációval kell szembenézni.

8.3.2. Szinkronmotorok

A szinkronmotoroknak a működésükhez a szinkronizációval kell szembenézni. A szinkronizációval a motoroknak a szinkronizációval kell szembenézni.

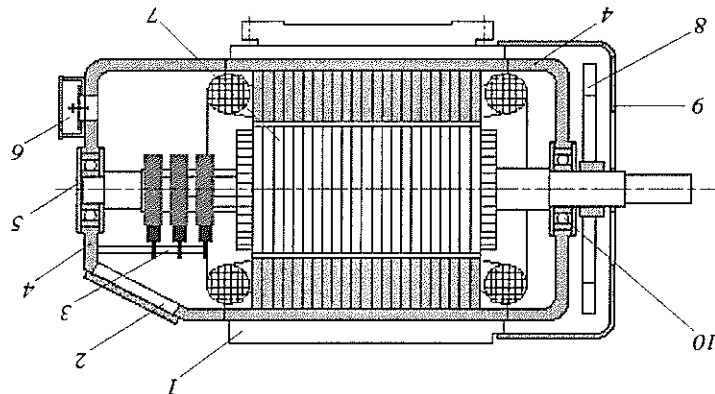
A szinkronmotoroknak a működésükhez a szinkronizációval kell szembenézni. A szinkronizációval a motoroknak a szinkronizációval kell szembenézni.

A szinkronizációval a motoroknak a szinkronizációval kell szembenézni.

$$n = \frac{f}{f_1} \cdot \frac{p}{s} \text{ ill. az } n = 60 \cdot \frac{f}{f_1} \cdot \frac{p}{s} \text{ min.}$$

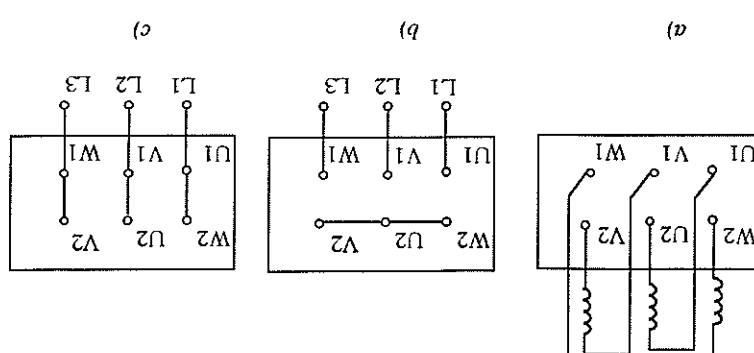
A működési elvben a motor fordulatszámát, amelyet a már ismert terhelésre számított szinkronizációval, megfelelően kell kiválasztani.

8.20. ábra. Csiszolgégyűrűs forgórésszel, zárt felületű hűtésű aszimmetromotor
 1 állírósz; 2 kezelőnyílás; 3 keleszerkezet; 4 csapágypaszsok; 5 csapágylefel; 6 forgóréssz-kapocscház; 7 forgóréssz; 8 szellőzőkerek; 9 szellőzősaspka; 10 csapágylefel



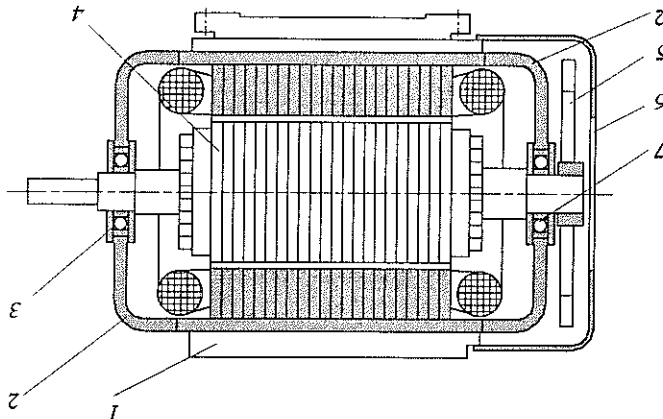
Csiszolgégyűrűs forgórésszel a vasmag horonyában szigetelt rezvezetővel készített harmonfázisú tekercseselés van. A harmonfázisú tekercs csillag- vagy delta-szűrő, harmonfázisú tekercseselés van. A harmonfázisú tekercs szigetelt rezvezetővel készített forgórésszel a szigetelés közös a tengelyen levő, dimamolemezzel készült hengereken keresztül elválasztja a harmonfázisú tekercseselést a vasmag horonyában szigetelt rezvezetővel készített forgórésszel. A harmonfázisú tekercseselésben két részre osztják a vasmagot, elegendően, hogy minden részben két forgórésszel rendeljen a tengelyen levő, dimamolemezzel készült hengereket. A két forgórésszel rendeljük meg: a csiszolgégyűrűs (más néven tekercses) és a kállikás (más néven rovidirányzat) forgórésszel.

a) a harmonfázisú tekercs kapocsrendezése; b) a kivézetések csillagkapcsolására
 8.19. ábra. Harmonfázisú motor kapocsátáblái



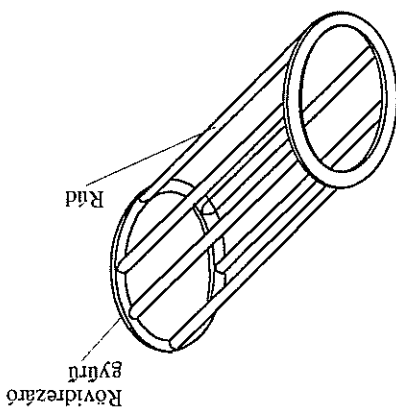
Káličkás forgórezsű gépekkel 100 kW teljesítmény-nagy sűrűségű motoroknak.
A káličkás gépek olcsóbbak és üzemeltetésük a csiszológyűrűk motoroknál.

8.22. ábra. Káličkás forgórezsű, zárt felületű hűtésű aszinkronmotor
1/ állórész; 2/ csapágypázsok; 3/ csapágylede; 4/ forgórész;
5/ szellőzőkerék; 6/ szellőzősapka; 7/ csapágyl



Egy káličkás gép méretei látható a 8.22. ábrán.

8.21. ábra. Kálička



Káličkás forgórezsű esetén a vasmag horonyiba egy-egy szigetelelten, viszonylag nagy keresztszintű vezető (rád) kerül. A rúdak a vasmag két végén ún. rövidrezsáró gyűrűkhöz csatlakoznak. Az így kialakított szerkezetet nevezik káličkának. A káličkás – vasmag nélküli – vázlatát a 8.21. ábra szemlélteti.

Az aszinkronmotor egyik legjellemzőbb tulajdonsága, hogy csak szinkronmal kisebb fordulatszámot képes elérni.

Háromfázisú aszinkronmotorban a szinkronfordulatszám ellenére, még szűrőnél az indukáló hármas feszültséghez képest is, tehát a forgórésszal szemben különösen nagy a nyomás.

A nyomásnak hatására a motor fordulatszámát szükséges szabályozni, hogy a szinkronfordulatnál a forgórésszel ellentétes irányba forduljon.

Az indukált áram a forgórésszel ellentétesen fordul, tehát a forgórésszel szemben különösen nagy a nyomás. A nyomásnak következtében a forgóréssz mozgásirányával ellentétesen fordul, így a forgórésszel szemben különösen nagy a nyomás. Ez a forgóréssz mozgásirányával ellentétesen fordul, tehát a forgórésszel szemben különösen nagy a nyomás. A nyomásnak következtében a forgóréssz mozgásirányával ellentétesen fordul, tehát a forgórésszel szemben különösen nagy a nyomás.

Az indukált áram a forgórésszel ellentétesen fordul, tehát a forgórésszel szemben különösen nagy a nyomás.

Az indukált áram a forgórésszel ellentétesen fordul, tehát a forgórésszel szemben különösen nagy a nyomás. A nyomásnak következtében a forgóréssz mozgásirányával ellentétesen fordul, tehát a forgórésszel szemben különösen nagy a nyomás.

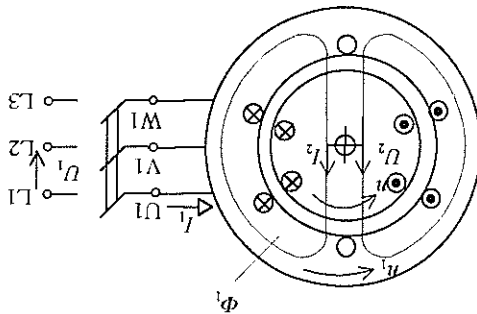
Az indukált áram a forgórésszel ellentétesen fordul, tehát a forgórésszel szemben különösen nagy a nyomás.

$$n_1 = \frac{p}{f} \cdot \frac{1}{s}, \quad n_1 = 60 \cdot \frac{p}{f} \cdot \frac{1}{min}.$$

Az indukált áram a forgórésszel ellentétesen fordul, tehát a forgórésszel szemben különösen nagy a nyomás.

Az indukált áram a forgórésszel ellentétesen fordul, tehát a forgórésszel szemben különösen nagy a nyomás.

8.23. ábra. Az aszinkronmotor működési elve



A hármonizált aszinkronmotorok működése

Az aszinkronmotor működési elve a 8.23. ábra alapján érthető.

A motor addigé gyorsul, amíg a nyomaték a gyengénlő nem lesz a terhelés nyomatéka - val (a két jellegűrőce metszéspontja).

$$M_p \approx \frac{2}{M_p}$$

Középen található. Tehát nyomaték meredeken csökken. A névleges nyomaték ennek a meredek szakasznak kb. a közepen található.

- Névleges nyomaték (M_n)**: A billenőnyomaték utáni gyorsulás fölyamán a nyomaték meredekben csökken. A névleges nyomaték ennek a meredek szaka-

- ekkor az n_f fordulatszám a szinkronerőnek kb. 80–85%-a.**

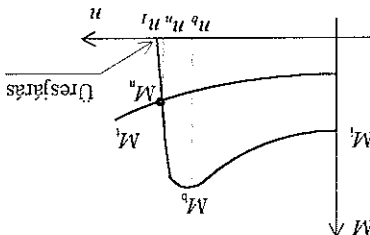
billenőnyomatékig nő. A billenőnyomatékhoz tartozó szlip kb. 15–20%, tehát

Billenőnyomaték (M_b): A motor gyorsulása közben a nyomaték a billenőnyomatékig nő. A motor nagyobb az M_n , terhelőnyomatéknál, ahogy az a bőven látható.

- Indítonyomaték (M_i)**: A motor akkor tud forgásba jönni, ha az indítonyoma-

A jellegűrőce jellezetes pontjai és a motorok tulajdonságai a jellegűrőce tulkrében a következők:

8.24. ábra. Azszinkronmotor nyomaték-fordulatszám jellegűrőreje



Középs motor tipikus nyomaték-fordulatszám jellegűrőreje látható a 8.24. ábrán.

A nyomaték-fordulatszám jellegűrőbe

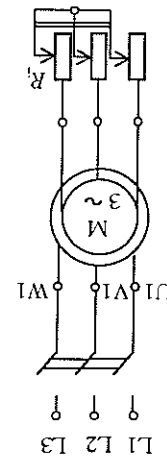
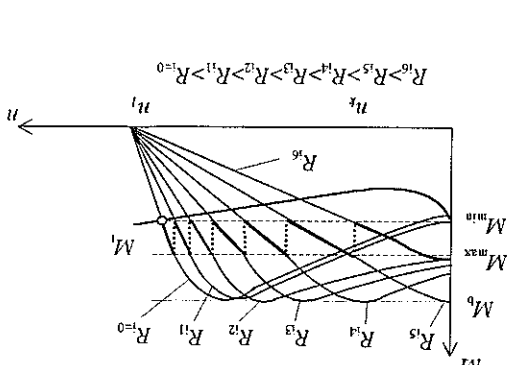
ges ket fazisvezető felcserelesevel lehet megvaltoztatni. A harmonikus azszinkronmotorok forgásirányát az allírászhéz csatlakozó, tetszeli rendüke példig a 10%-hoz. A szlip jellemezzé átalagerte 4% körül. Az alalámosan használt motorok szlipje névleges terhelésen 1–10% ennek. A na-

ter el a szinkronfordulatszámot, hogy a motor tényleges fordulatszama hany százalékkel. A szlip megnuttaja, hogy a motor tényleges fordulatszámát,

$$s = \frac{n_1 - n}{n_1} \cdot 100 \text{ .}$$

Zes, csúszását jelenti): A szinkronfordulatszámot való elterést a szlippel jellemezük (slip: angol kifeje-

8.25. ábra. Csalzógyűrűs aszimkronmotor
8.26. ábra. Csalzógyűrűs aszimkronmotor
aszimkronmotor indítása
az indítás folyamata



görész rovidímezőrásáig.

- Az indító-ellenállást, a gyorsulás utolsóben, fokozatosan ki kell iktatni a főt-hálózatra kell kapcsolni,
- az R_1 indító-ellenállást a leghagyobb erőkre kell állítani, a motor állgorésszét a halmozásban a billenőnyomaték nem változik.

Az indítás folyamata a következő:

A csuszoggyűrűs motorok indítása a csuszoggyűrűk közé kapcsolt R_1 indító-ellenállásnak törekkent. Az indító-ellenállásnak beiktatása csökkenti a hálózati árammel-vetést és növelte az indítónyomatékot. Az elvi kapcsolás a 8.25. ábra szemlélteti. A hárómázisú aszimkronmotorok indítása stabil motortörökkel. A zsinórindításban minden részben meghaladja a terhelés mértékét a hálózati áramfelvétel kisebbségeit. Ez a nagy áram, ha tartósan fennmarad, veszélyeztetné a motor épségét.

Ha a gép részarábsán van, akkor felgyorsul az n_1 zsinornfordulatszám kozvetlen-közeliébe. A nyomágtérkép görbe a zsinkronfordulatszámhoz metszi a vizszintes tengelyt. Stabil motortörökkel a terhelési pont es a billenőnyomaték kozott lehet megvalósítani. Ha a terhelés meghaladja a billenőnyomatékot, akkor a motor hirtelen megszaklik. A terhelési pont az ellenállásban meghaladja a hálózati áram, ha tartósan fennmarad, veszélyeztetné a motor épségét.

Az indítás során a motor állórészének minden fazisával sorosan kapcsolható egymáshoz. Ezáltal a gép áramkörének hosszúsági az impedenziai impedanciák. Impedenziákatellenállás a motor arányosan nagy induktív reaktanciával (ún. feszültség) szokás alkalmazni.

Ezért - impedanciás indításkor a motor állórészének minden fazisával sorosan kapcsolható egymáshoz. Ezáltal a gép áramkörének hosszúsági az impedenziai impedanciák. Impedenziákatellenállás a motor arányosan nagy induktív reaktanciával (ún. feszültség) szokás alkalmazni.

Indítás vezetékhöz felvezetőszkózzel, amikor a motorra jutó feszültségeket trisztorokkal csökkentik, majd az indítási folyamatban, egy ill. több fokozatban vagy jóval több feszültséget trisztról, a teljesen novellik.

Az indítás céljáról használható takarékkapcsolású transzformátor.

$$M_y = \frac{3}{M_a}$$

Az áramcsökkennés arrányában a motor nyomáteká is kisebb lesz:

$$I_y = \frac{3}{I_a}$$

Csillagkapcsolásban az áramerősség a delta-kapcsolás áramerősségenek harmad része: hogy az üzemszerűen delta-kapcsolású motor állórészét az üzemi állandóba kötik. Minthán a motor feszültségeit az üzemi fordulatszámra, az állórész tekercsét detlapba kapcsolják. Ezzel helyreáll az üzemi állandó. A csillag-terhelhetősége határozza meg.

A közvetlenül indított motor nagyságát, az áramlokes szemponjával, a haladás terhelethezője mindenül indítási esetben a gép állórészére gyorsítóen rökkapcsolják a haladásra. Közvetlen (direkt) indítás esetben a gép állórészére gyorsítóen rökkapcsolják a haladásra.

Kalikás forgórészű motorok indítása

Nyolc jól befolyásolhatók.

A csezséggyűrűs aszinkronmotor akkor célszerű alkalmazni, ha viszonylag nagy indítonyomatékra van szüksége, és ezt viszonylag ki is értékelhetők a paramétereik. Melleltekkel megvalósíthati. Az indítás folyamatában az áram és nyomátek a viszonylag nagy nyomátmérőkkel mérhető. Az indítás folyamatában az áram és nyomátek viszonylag gyorsan változik.

Az indítás folyamatában a gép nyomáteká a 8.26. ábrában látható, füreszegszerű gyorbú mentén változik.

Olyan helyeken, ahol nem áll rendelkezésre a hárómátrix hálózat, de az aszinkronmotor keddvező tulajdonságai (egyszerű, üzembiztos szerekkel, kis karbantartási igény) jól hasznosíthatók, egyfázisú gépet alkalmaznak. Jellemezettségei használási területekkel a hatalásokban található, villamos hajtású berendezések köré (mosdók, centrifúgák, kompresszorok hídjegépek, szivattyúk, fűnyírók stb.). Az egyfázisú aszinkronmotorok teljesítménye a hálózaton nem nagyobb 1,5–2 kW-nál.

Az egyfázisú aszinkronmotorok szereketei

A kis teljesítményre való tekintettel az egyfázisú gépek egykalikás forgóresszel kezeli. Az állóresz tekercselésére kettőfázisú, A két tekercs egyikét **főfázisnak**, a másikat se-

romfázisnak nevezik. A tekercsek elvi elrendezéseit a 8.27. ábra szemlélteti.

Az állóresz tekercselés kettőfázisú. A két tekercs egyikét **főfázisnak**, a másikat se-

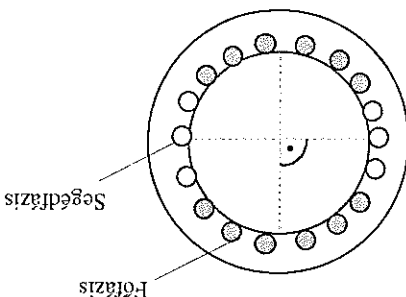
romfázisnak nevezik. A két tekercs egyikét **főfázisnak**, a másikat se-

Az egyfázisú aszinkronmotorok működése

Ha a motorról csak a felfázisával kapcsoljuk az egyfázisú hálózatra, az állóreszben

Ez a lükterő mágneses ter a forgórész kalikásában indukál ugyanáramot, de ez az áram indítónyomatékot nem eredményez. Így a motor nem jön forgásba, bár nagy aramot vesz fel, mint egy rovidrezsű transzformátor.

A jelenséget *Lenz törvénye* alapján értelmezhetjük: minden forgó mágneses ter hatásra, tehát ílyen hálás nem is keletkezik.



8.27. ábra. Egyfázisú motor állóreszére, kétplüssú tekercseléssel

A gépeket általában egy vagy két poluspárt kiviteleben készítik.

Az állóresz tekercselés kettőfázisú. A két tekercs egyikét **főfázisnak**, a másikat se-

romfázisnak nevezik. A két tekercs egyikét **főfázisnak**, a másikat se-

Az állóresz tekercselés kettőfázisú. A két tekercs egyikét **főfázisnak**, a másikat se-

Az egyfázisú aszinkronmotorok szerkezete

A két tekercs közötti szembeirányú fordulatszám két részre osztja a hálózatot. A két részben különböző gyorsaságban forgó mágneses ter keletkezik a hálózatban.

Az egyfázisú aszinkronmotorok szerkezete

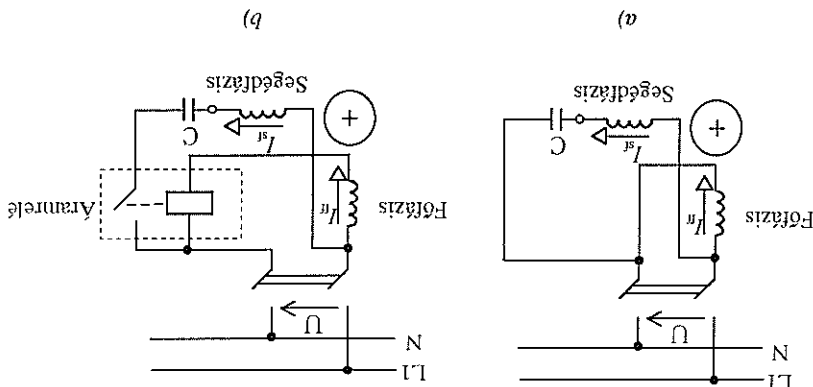
Az egyfázisú aszinkronmotorok teljesítménye a hálózaton nem nagyobb 1,5–2 kW-nál.

8.3.2. Egyfázisú aszinkronmotorok

Az egyenáramú gépek – generátorok és motorok – olyan forgó gépek, amelyek minden mechanikai munkát általában eljő, mágneses ter-közvetítésével.

8.4. Egyenáramú gépek

8.28. ábra. Egyfázisú aszinkronmotor elvi kapcsolása



Az egyfázisú motor forgásirányát a ségedfázis kapcsaiak felcserélésevel lehet megváltoztatni. Az egyfázisú motor forgásirányát a ségedfázis körülállásán cskak a fázissal üzemeli.

A 8.28.b) ábra az ún. aramrelés indítás kapcsolását mutatja. A halozatkapcsolás-kor a fázis nagy áramterüsegenek hatására a relé bekapcsolja a ségedfázist, ekkor a motor forgani kezd. A névleges fázisállászám közélebben a fázis aráma jelezőn lecsökken, a relé kiakapsolja a ségedfázist, a gép a továbbiakban csak a fázissal üzemel.

Egyfázisú halozat. A gép elvi kapcsolási vázlata a 8.28.a) ábrán látható.

A viszonytivá fázisban eltolják. A fázis ségedfáziszt párhuzamosan kapcsoljuk az aramrelésekkel kondenzátor kapcsolmákkal, hogy áramlát a fázis aramához

A ségedfázissal kettőfázisú forgó mágneses ter-jon letre, és így már álló helyzetben is keletkezik nyomataék.

A ségedfázissal kettőfázisú forgó mágneses ter-jon letre, és így már álló helyzetben

fázisállászám közélege felelgyorsul. Ez közvetlen motorkelet készpés működőit. Felgyorsítjuk, a motor nyomatékot fejt ki, és mint egy hárómotorfázisú gép, a szinkron-

Ha a fázisával a halozatba kapcsolt gép tengelyét, külön erővel, impulzuszerűen

A mozgás indukció szabályai szerint kellekézés arányba es a feszültség polaritása indikálóval. A mágneses polusai között vagy a mágneses polusokat felcseréljük. Ha mindenre leghosszabb a 8.29.b) ábra szerinti. Belátható, hogy a polaritás ellentétesre változik, ha a feszültséget a 8.29.a) ábra szerinti szabályai szerint kellekézésre változtatjuk.

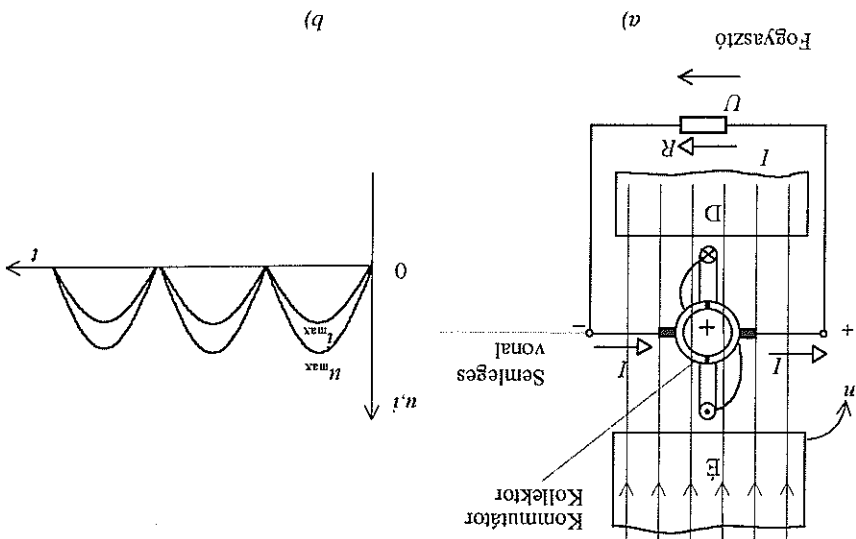
A mágneses indukció szabályai szerint kellekézés arányba es a feszültség polaritása a 8.29.b) ábra szerinti. Belátható, hogy a polaritás ellentétesre változik, ha a feszültséget a 8.29.a) ábra szerinti szabályai szerint kellekézésre változtatjuk.

A mágneses indukció szabályai szerint kellekézés arányba es a feszültség polaritása a 8.29.a) ábra szerinti. Belátható, hogy a polaritás ellentétesre változik, ha a feszültséget a 8.29.b) ábra szerinti szabályai szerint kellekézésre változtatjuk.

A kommutátor végzéi az egyenirányítás írás. A tekercs forgására közben, a 8.29.a) ábra szerinti bal oldali kefe - a kommutátoron keresztül - mindig a felső tekercsolához, tekercsben valtakozó áram folylik, a kelekeknél a kvízál áramköri részen már egyirányú, jobb oldali peddig az alsó tekercsolához csatlakozik. Így annak ellenére, hogy a szemről bal oldali kefe - a kommutátoron keresztül - mindenkor felsőtekercsolához, leges vonalában, székelek csatlakoznak, amelyeknél keresztlívekkel el a villamos energiát.

a) az elvi szerkezet; b) a kellekézés egyenáramú generátor működési elve

8.29. ábra. Az egyenáramú generátor működési elve



Az egyenáramú generátorok működési elve a mágnesi indukcióval alapul: ha mágneses polusai között tekercsét forgatunk, akkor a tekercsben feszültsége kellekészítik. Az indukált feszültsége valtakozó feszültsége, amelyet a gép mechanikusan egyenirányít. A generátor elvi felépítéseit a 8.29.a) ábra szemlélteti.

8.4.1. Az egyenáramú gépek működési elve

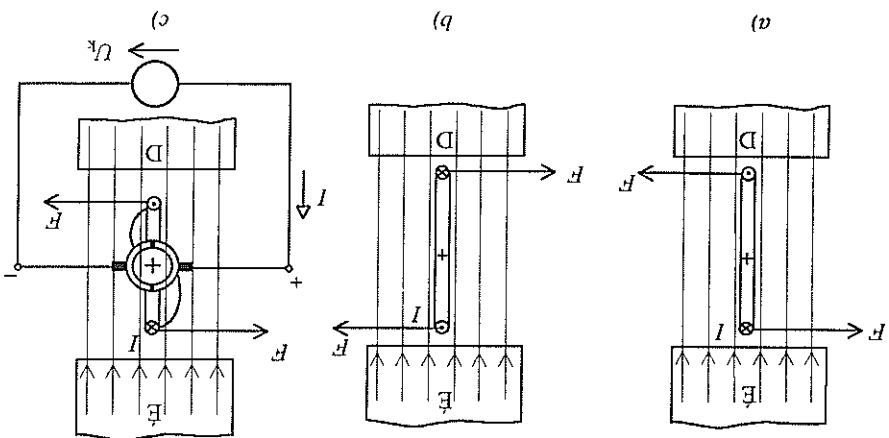
kejt működik.

Tor tehet motor esetén egyenáramból valtakozó áramot állít el, azaz váltórányítóval csatlakozik. Iggy a tekercsben valtakozó irányú áram folyik. A komultatív polusokhoz pozitív polusokhoz, az alsó tekercsöldel pedig mindenideg a negatív. Mivel a kommutátor együttes forgás a tekercssel, ezért a felül levő tekercsöldel minden irányuk az áramtól, amelyhez a semleges vonalban csatlakoznak a kepek, akkor az eredmény a 8.30.c) ábra alapján, hogy ha a tekercsbe kommutátoron keresztül végrehajtjuk az áramtató felfordulatoknkt megtárolózást.

Bélatához a 8.30.c) ábra alapján, hogy ha a tekercsbe kommutátoron keresztül végrehajtjuk az áramtató felfordulatoknkt megtárolózást. A komutátor fölött mindenekkel ellentétes irányúra kell valtoztatni. A komutátor fölött mindenekkel ellentétes irányúra kell valtoztatni, a témát jól leírja. Ahhoz, hogy a forgatónyomaték irányával valtoztatlan legyen, a tekercsben helyezetben az erőhatások marad az áramirány, akkor a 8.30.b) ábra szerinti hélyzetben a beseljük a rezisztáns erőt a kerekekhez, ami minden hatalyjuk a tekercsben, a beseljük irányával. Ha a 8.30.a) ábrából jelölje irányát / áram forrásból a részletekkel, árammal átfuttatva minden részszál. Az elcsapágvázott tengelyre szerepel, árammal átfuttatva minden részszál. Az elcsapágvázott tengelyre szerepel, árammal átfuttatva minden részszál. Az el-

Az egyenáramú motorok működési elve a mágnes polusai között elhelyezkedő, szára a tekercsben, a beseljük irányával marad az áramirány, akkor a 8.30.b) ábra szerinti hélyzetben a beseljük a rezisztáns erőt a kerekekhez, ami minden hatalyjuk a tekercsben, a beseljük irányával. Ha a 8.30.a) ábrából jelölje irányát / áram forrásból a részletekkel, árammal átfuttatva minden részszál. Az elcsapágvázott tengelyre szerepel, árammal átfuttatva minden részszál. Az el-

8.30. ábra. Az egyenáramú motor működési elve



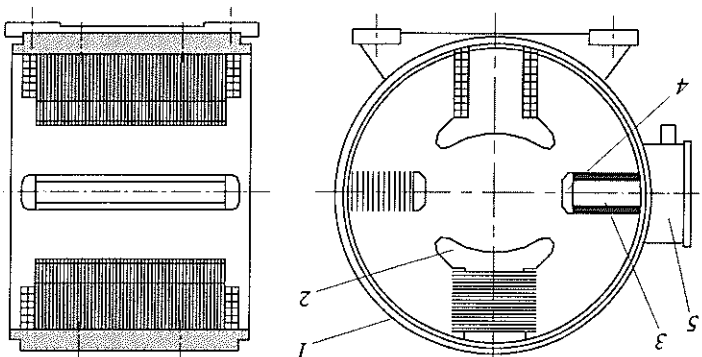
A valóságos gyerekben a forgárcs körülte fejten, egy második képest előforgatva, sok tekercsleme helyeznek el, amelyek sokszemmensé kommutátorhoz csatlakoznak. A kelekkel a tekercslemeikben indukálódott, fázisban eltolt feszültségek összegé végül le. Ezért a gyakorlatban működő gépek teljesen sima egyenfeszültséget szolgáltatnak.

A tekercsben indukálódott és a kommutátorral egyenirányított feszültsége, valamint áram időfüggvényét - feltérülve, hogy a tekercsben szinuszos feszültsége jön le - a 8.29.b) ábra szemlélteti.

Nehány KW teljesítményig – motorok esetén – készítenek gépekkel permanentes mágneseket. A segedpolusokon szigetelt rezszelőből készült gerjesztőkercs van. A fő- és szík. A segedpolusok a főpolusok közötti szögfelezőben helyezkednek el. A fő- és szík. A polusárok száma 1, 2, 3 vagy 4. A polusárok száma a teljesítményel novék. Kefeszítik rázás megszűntetésére.

Az öntöttvasból vagy öntött acélból, esetleg hengerirőtt akéllemezből készülhet az alalabán néhány 100 W teljesítményig nem készítenek. A segedpolusokat belső palasjárás csavarozzák főpolusokat és a segedpolusokat (Segedpolusokat a főpolusárok száma 1, 2, 3 vagy 4. A polusárok száma a teljesítményel novék).

8.31. ábra. Egyenáramú gép állórész, gerjesztett polusokkal
1. állórész; 2. főpolus gerjesztőkercses; 3. segedpolus gerjesztőkercses;



Az állórész felépítése – vázlatosan – a 8.31. ábrán látható. A motorok elvi szerkezete azonos. A valóságos szerkezetük is elegendő.

8.4.2. Az egyenáramú gépek szerkezete

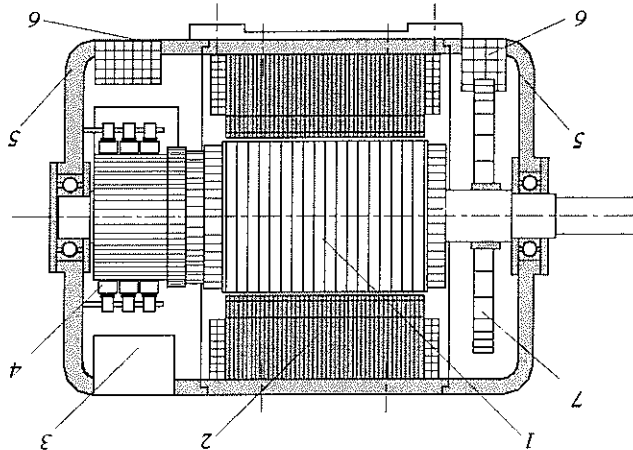
A valóságos motorok forgácsirányával ellentétesen, ha a mágneses polusai felcserelelődnek, vagy az U_d kapocsfeszültség polaritásá ellentétes lesz. Ekkor ugyanis a tekercsök, dalkak áramíranya, és így az erőhatás is megfordul. Ha a polusok és a feszültség polaritása egyszerre változik, a forgácsirány változatlan marad. A motor forgácsirányával ellentétesen valózók, ha a mágneses polusai felcserelelődnek, vagy az az U_d kapocsfeszültség polaritásá ellentétes lesz. Ekkor ugyanis a tekercsök, dalkak áramíranya, és így az erőhatás is megfordul. Ha a polusok és a feszültség po-

koltuk a két félgyűrűt, tehát zártatott okoznak.)

A valóságos motorok forgácsirányával ellentétesen, a generátorokkal egyezően – a kerüllet men-

5 csapágyپajzs; 6 szellőzönyűlás rácسai; 7 ventillátorkerék
 1 forgórések; 2 állítések; 3 zártató készelyűlás; 4 keresztereket;

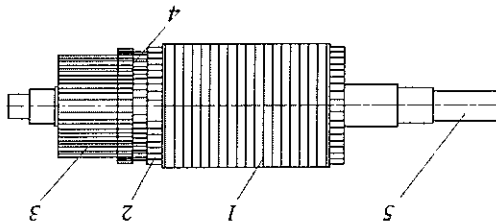
8.33. ábra. Az egynáramú gép felépítése



Egy összeszerelt gép vázlatát látható a 8.33. ábrán.

1 vasmag; 2 tekercslej; 3 kommutátor; 4 a tekercslemekek végét; 5 tengelyszemelő.

8.32. ábra. Egynáramú gép forgórése



szemelőtől.

A forgórész (másképpen armatúra) tengelyén hengerek, szigetelt dimméléme-
 tékkel felfüllött vastest helyezkedik el. A vastest pálasztja meneti, egyneltes osz-
 zekból, homyokat sástolnak. A homyokban van a szigetelt rezvészegítők részük. A
 tengelyről szigetelt rezvészegítőkkel a kommutátor, amely sok, egymástól es a tengely-
 kerceselés. A tengelyről roggatik a kommutátor, amely sor, egymástól es a tengely-
 kerceselés. A tengelyről szigeteltek szegmensekkel. A szegmensek száma kis gélnekkel
 tölt elszigetelt szegmensekkel. A szegmensek száma kis gélnekkel is töres nagyság-
 rendű, nagy gépeknél esetlen százas nagyságrendű is lehet. A forgóréset a 8.32. ábra-
 rendű, nagy gépekknél szegmensekkel. A szegmensek száma kis gélnekkel is töres nagyság-
 rendű, nagy gépekknél esetlen százas nagyságrendű is lehet. A forgóréset a 8.32. ábra-

szemelőtől. A tengelyről szigeteltek szegmensekkel. A szegmensek száma kis gélnekkel tölt elszigetelt szegmensekkel. A szegmensek száma kis gélnekkel is töres nagyságrendű, nagy gépekknél esetlen százas nagyságrendű is lehet. A forgóréset a 8.32. ábra-szemelőtől. A tengelyről szigeteltek szegmensekkel. A szegmensek száma kis gélnekkel tölt elszigetelt szegmensekkel. A szegmensek száma kis gélnekkel is töres nagyságrendű, nagy gépekknél esetlen százas nagyságrendű is lehet. A forgóréset a 8.32. ábra-

az indukált feszültségekre.

A forgórezs belső ellenállása általában kicsi, 0,001–1 Ω nagyságrendű, így a forgórezs feszültségecső – üresjárás esetén legfeljebb a teljes feszültséghez közelít.

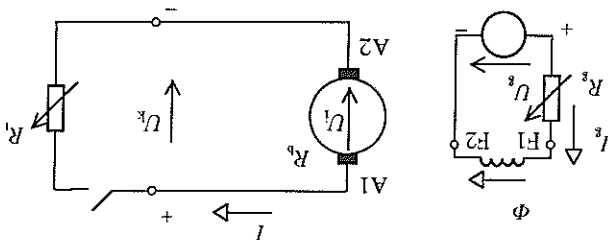
$$U_s = U_i - I \cdot R_b$$

Kisebb lesz az indukált feszültsége:

ellenállásban feszültségesztő leteszt. Ebben hatására a generátor kapocsfeszültsége Ha terheljük a generátor, a forgórezsben aránytalan fölyik, amely a forgórezs R_b belső

fordulatszámával. Az indukált feszültsége egyenesen arányos a fogyásnak. Fluxusával és a generá-

8.34. ábra. Különböző gerjesztésű generátor aramkörök vázlata



$$U_s = C \cdot \Phi \cdot n$$

mezejtük: A feszültsége értékét a szinkrongenerátorral megegyezően oszszefüggésessel jelez. A generátor forgórezsében feszültsége indukálódik a forgatás es a mágneses ter hár-

Egy különböző gerjesztésű generátor aramkörök vázlatát a 8.34. ábra szemlélteti.

Sorosan kapcsolt tekercs.

– vegyes gerjesztésű: minden fogyásnak van egy párhuzamosan es egy

– soros gerjesztésű: a fogyásnak tekercse a forgórezsrel soros kapcsolású,

– párhuzamos gerjesztésű: a fogyásnak gerjesztőtekercse a forgórezs-

– öngerjesztésű generátorok fogyásait a gép saját forgórezsrel tapasztak:

Fortással gerjesztik,

– különböző gerjesztésű generátorok fogyásait a generátorról független energiá-

– • gerjesztett fogyású generátorok:

• performans mágnesű generátorok: fogyások állandó mágnesesből készülnek,

A generátorok fajtái:

8.4.3. Az egyenáramú generátorok működési jellemzői

8.4.4. Egyenáramú motorok

A véges gerjesztésű generátor működése lenyegileg a párhuzamos gerjesztéssel megegyezik. A soros gerjesztőkeres a terhelés feszültségcsökkenését egyszerűen írja ki, ha a két tekercs azonos irányban mágnesező a gerjesztőkerékkel. Ellentétben a két tekercs azonos irányban mágnesel a gerjesztőkerékkel. Ezáltal a soros gerjesztőkeres a terhelés feszültségcsökkenését többnyire gyorsabban lassítja, mint a párhuzamos gerjesztésű generátor.

A soros gerjesztésű generátorról többekben valtozik a terhelésváltozás hatásra. A soros gerjesztésű generátorról csak kivételek esetben használják, mert a kapocs-feszültsége jellemző mértekben változik a terhelésváltozás hatásra.

Az induktív feszültség végül a gerjesztőkerék osszes ellenállása (az R_g gerjesztő-ellenállás és a gerjesztőkerék R_i , ellennállásnak összegé) határozza meg. A gerjesztési feszültséget az R_g gerjesztő-ellenállásval lehet változatlanul.

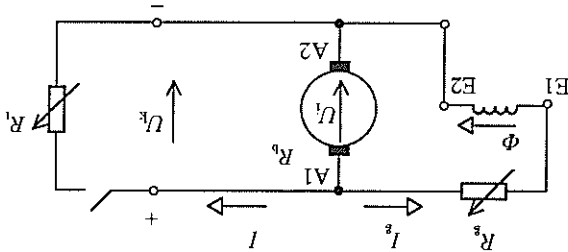
A dinamikai lenyegében a forgatás hatására a remanens fluxus a főgerjesztőn feszültségeket indukál (remanens feszültség), amely a gerjesztő-körben I_g erősséggel jár, ami miatt nő a gerjesztőáram. Igy egy önmagát erősítő fölyamaton vezet lefelé. Ez a gerjesztőáram növelte a remanens fluxust, amely nagyobb feszültséget indukál (remanens feszültség), amely a gerjesztő-körben I_g erősséggel jár, ami miatt nő a gerjesztőáram. Igy egy önmagát erősítő fölyamaton vezet lefelé.

A dinamikai lenyegében a forgatás hatására a remanens fluxus a főgerjesztőn feszültséget indukál (remanens feszültség), amely a gerjesztő-körben I_g erősséggel jár, ami miatt nő a gerjesztőáram. Igy egy önmagát erősítő fölyamaton vezet lefelé. Ez a gerjesztőáram növelte a remanens fluxust, amely nagyobb feszültséget indukál (remanens feszültség), amely a gerjesztő-körben I_g erősséggel jár, ami miatt nő a gerjesztőáram. Igy egy önmagát erősítő fölyamaton vezet lefelé.

A dinamikai lenyegében a forgatás hatására a remanens fluxus a főgerjesztőn feszültséget indukál (remanens feszültség), amely a gerjesztő-körben I_g erősséggel jár, ami miatt nő a gerjesztőáram. Igy egy önmagát erősítő fölyamaton vezet lefelé. Ez a gerjesztőáram növelte a remanens fluxust, amely nagyobb feszültséget indukál (remanens feszültség), amely a gerjesztő-körben I_g erősséggel jár, ami miatt nő a gerjesztőáram. Igy egy önmagát erősítő fölyamaton vezet lefelé.

A dinamikai lenyegében a forgatás hatására a remanens fluxus a főgerjesztőn feszültséget indukál (remanens feszültség), amely a gerjesztő-körben I_g erősséggel jár, ami miatt nő a gerjesztőáram. Igy egy önmagát erősítő fölyamaton vezet lefelé. Ez a gerjesztőáram növelte a remanens fluxust, amely nagyobb feszültséget indukál (remanens feszültség), amely a gerjesztő-körben I_g erősséggel jár, ami miatt nő a gerjesztőáram. Igy egy önmagát erősítő fölyamaton vezet lefelé.

8.35. Párhuzamos gerjesztésű generátor aramkori vázlata



A párhuzamos gerjesztésű generátor aramkori vázlata a 8.35. ábra mutatja.

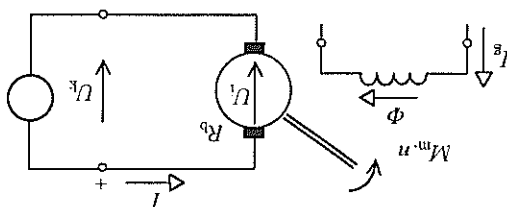
A párhuzamos gerjesztésű generátor gerjesztőkeresére, egy váltózatához ellenálláson, az un. gerjesztő-ellenálláson kereszttül párhuzamosan kapcsolódik a gerjesztőkerékkel. A párhuzamos gerjesztésű generátor gerjesztőkeresére, egy váltózatához ellenálláson, az un. gerjesztő-ellenálláson kereszttül párhuzamosan kapcsolódik a gerjesztőkerékkel. A párhuzamos gerjesztésű generátor gerjesztőkeresére, egy váltózatához ellenálláson, az un. gerjesztő-ellenálláson kereszttül párhuzamosan kapcsolódik a gerjesztőkerékkel. A párhuzamos gerjesztésű generátor gerjesztőkeresére, egy váltózatához ellenálláson, az un. gerjesztő-ellenálláson kereszttül párhuzamosan kapcsolódik a gerjesztőkerékkel.

A gép forgórendszerére csatoltakozó energiatárolás U_b , kapocsfeszültsége I erősségű áram-

tasára a motor n fordulatszámmal kezd forgani.

mot létesít, amely a főpoliszok Φ fluxusával nyomatékot hoz letre. A nyomaték ha-

8.37. ábra. Az egyenáramú motor áramkörí vázlata



számköti vázlata alapján vizsgálhatók.

Az egyenáramú motorok feszültsége, áram és fordulatszám viszonyai a 8.37. ábra

Fluxusával és a forgórendszeráramosságával.

Az egyenáramú motorok nyomáka egyenesen arányos a főpoliszok magneses-

kásos nyomaték összefüggésével:

$$M_m = k \cdot \Phi \cdot I .$$

A kifejezésben szereplő I és d menetirányban egy adott gép esetén állandók, így egy konstansba foglalhatók. Ezzel felíthatjuk az egyenáramú motorokat jellemező szo-

nyomatékot eredményez.

$$M_m = F \cdot d = B \cdot I \cdot l \cdot d = \frac{A}{\Phi} \cdot I \cdot l \cdot d$$

esetben az $F = B \cdot l \cdot l$ és a $\Phi = B \cdot A$ összefüggés szerint, a d átmérőjű forgórendszer

A forgórendszeráramma B induktivitásának magneses teriben, l hatalos vezetőhossz

8.36. ábra. Az egyenáramú motor nyomáka

